

Traitement de l'information analogique

Chapitre 1 : Montages en régime sinusoïdal établi
Corinne Berland

Une école de

 CCI PARIS ILE-DE-FRANCE
EDUCATION

 Université
Gustave Eiffel

Présentation de l'unité

- ▶ L'électronique analogique : faire des opérations mathématiques simples sur les signaux à temps continu
 - Fonctions électroniques analogiques de base
 - ✓ Amplification
 - ✓ Mélange, multiplication
 - ✓ Filtrage
 - ✓ Détection d'enveloppe
 - ✓ Redressement de signaux....
- ▶ A l'issu du cours vous serez capable
 - De calculer théoriquement, de mettre en œuvre et de mesurer des fonctions électroniques élémentaires

Introduction

- ▶ **Chapitre 1 : Montages en régime sinusoïdal établi**
 - 1. Les sources sinusoïdales
 - 2. Régime établi et notation complexe
 - 3. Les phaseurs – relation avec les éléments passifs
 - 4. Lois de Kirchhoff en régime établi
 - 5. Fonctions de transfert
 - 6. Diagrammes de Bode : 1er ordre
 - 7. Fonctions de filtrage
- ▶ **Chapitre 2 : l'amplificateur opérationnel**
 - 1. L'amplificateur opérationnel : principe
 - 2. Fonctionnement en amplificateur
 - 3. Fonctionnement en oscillateur
 - 4. Fonctionnement en comparateur
- ▶ **Chapitre 3 : La diode**
 - 1. Le fonctionnement de la diode PN
 - 2. Modèles équivalents de la diode
 - 3. Circuits élémentaires
- ▶ **Chapitre 4 : le transistor bipolaire**
 - 1. Le fonctionnement du transistor
 - 2. Modèle équivalent petit signal du transistor
 - 3. L'amplificateur à transistor bipolaire

Introduction

► Chapitre 1 : Montages en régime sinusoïdal établi

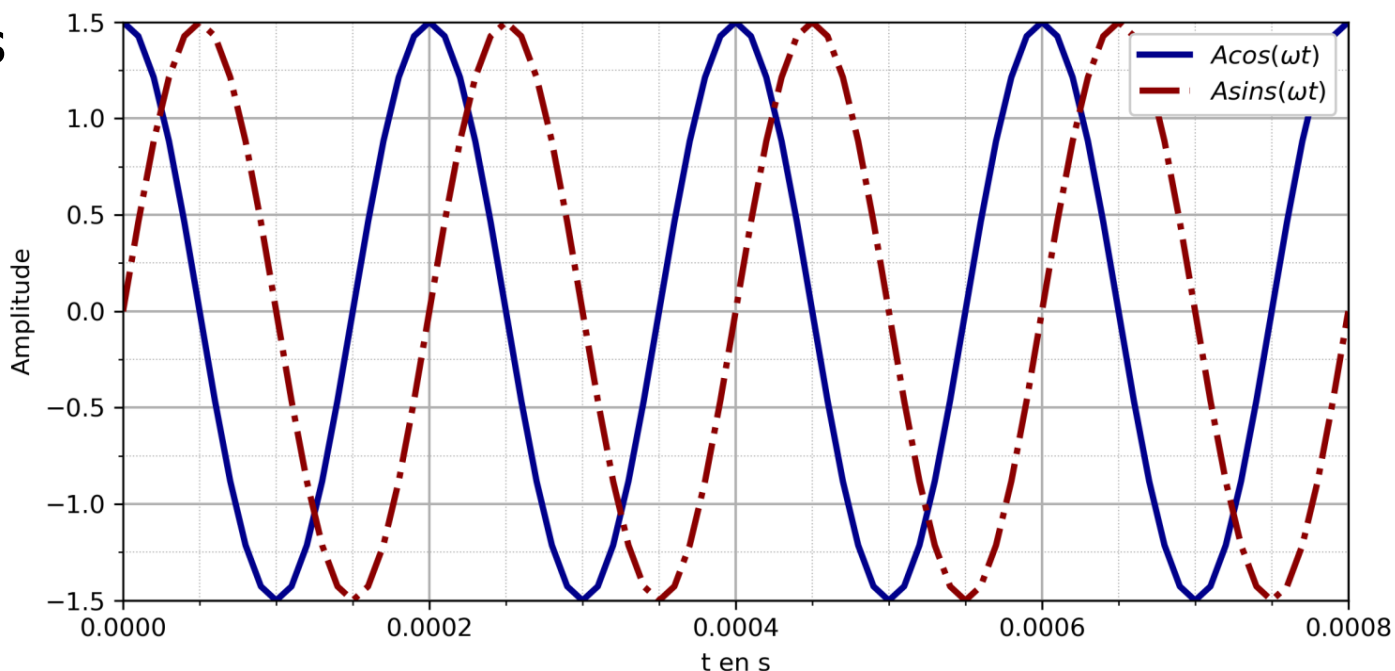
- A l'issu de ce chapitre, vous serez capable de :
 - ✓ Calculer des montages lorsque les générateurs varient de manière sinusoïdale en entrée
 - ✓ Mesurer des montages en régime sinusoïdal
- Plan du cours
 - ✓ 1. Les sources sinusoïdales
 - ✓ 2. Régime établi et notation complexe
 - ✓ 3. Les phaseurs – relations avec les éléments passifs
 - ✓ 4. Lois de Kirchoff en régime établi
 - ✓ 5. Les fonctions de transfert
 - ✓ 6. Diagramme de Bode du premier ordre
 - ✓ 7. Fonctions de filtrage

1. Les sources sinusoïdales

► Forme :

$$\begin{aligned} u_A(t) &= U_M \cos(\omega t) \text{ ou } u_B(t) = U_M \sin(\omega t) \\ i_A(t) &= I_M \cos(\omega t) \text{ ou } i_B(t) = I_M \sin(\omega t) \end{aligned}$$

- U_M, I_M : amplitudes maximales de la tension et du courant
 - ω : pulsation (ou vitesse angulaire) en rad.s⁻¹
-
- Tracés en fonction du temps
 - (ici, $A=1.5$)

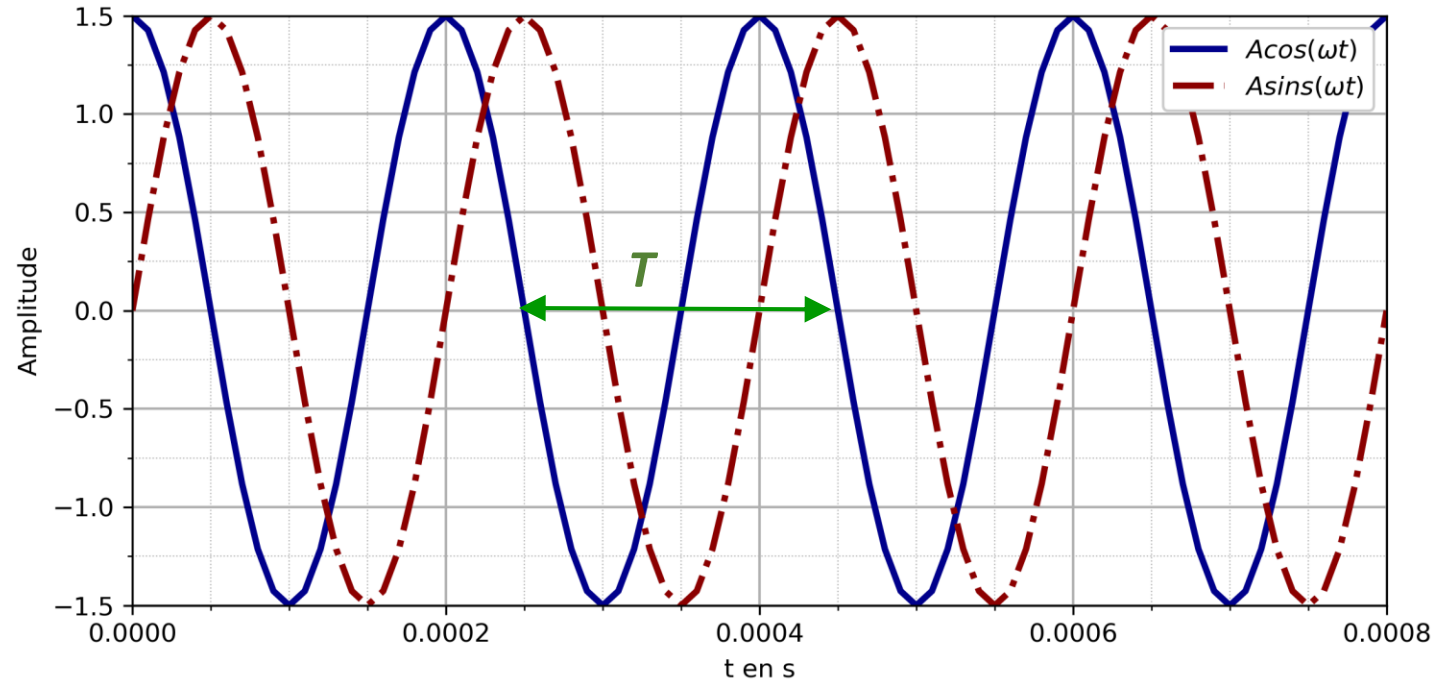


1. Les sources sinusoïdales

► Signaux périodiques

$$u_g(t) = u_g(t + T)$$

- U_M, I_M : amplitudes maximales
- F : fréquence en Hz
- T : période en seconde
- ω : pulsation en rad.s⁻¹

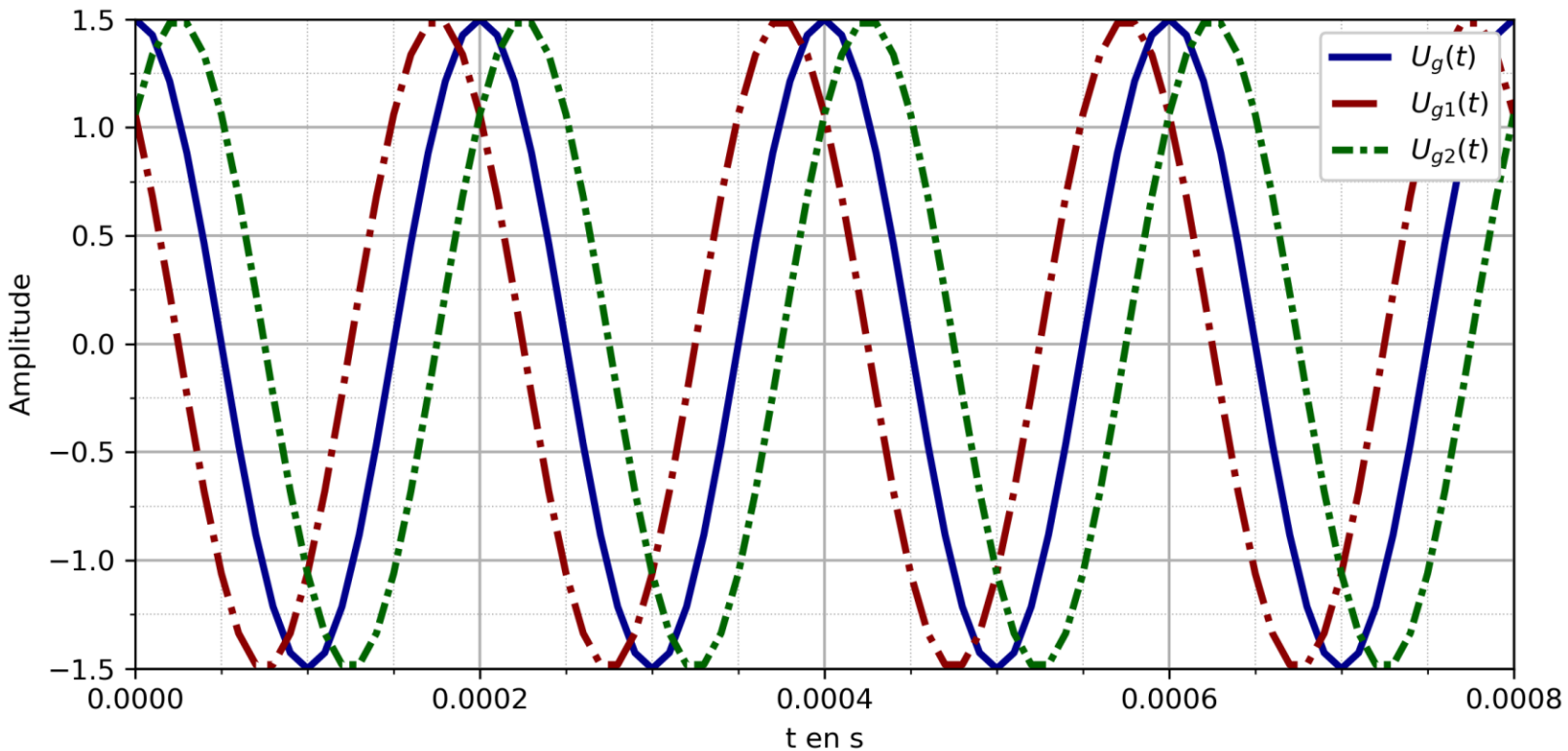


$$F = \frac{1}{T}.$$

$$\omega = 2\pi F = \frac{2\pi}{T} \text{ rad.s}^{-1}$$

1. Les sources sinusoïdales

► Signaux déphasés



- $u_{g1}(t)$ est en retard par rapport à $u_g(t)$
 - Elle passe à « 0 » avant
- $u_{g2}(t)$ est en avance par rapport à $u_g(t)$
 - Elle passe à « 0 » après

1. Les sources sinusoïdales

► Courbe en avance de phase $U_{g1}(t)$

- Par rapport à

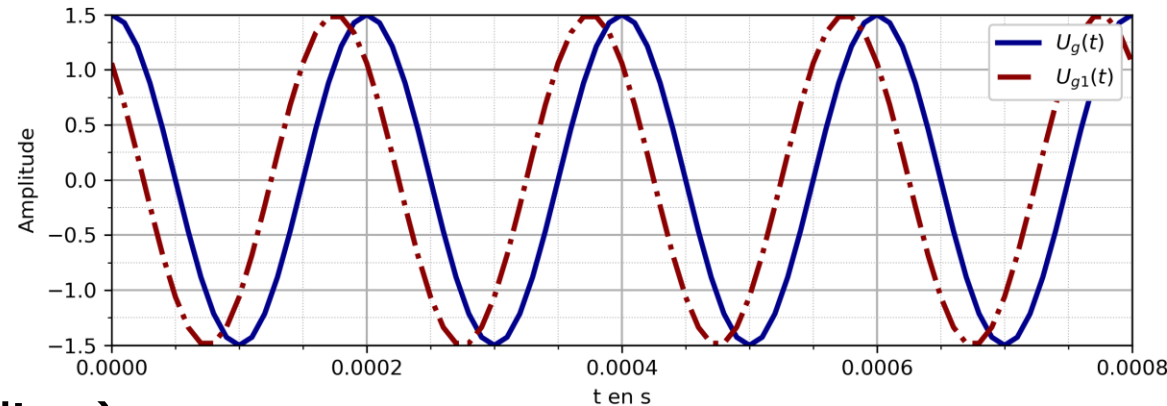
$$u_g(t) = U_M \cos(\omega t)$$

- Déphase positif d'un angle ϕ (en radian)

$$u_{g1}(t) = U_M \cos(\omega t + \phi)$$

\Leftrightarrow Ecart temporel entre les deux courbes

$$\begin{aligned} u_{g1}(t) &= U_M \cos(\omega t + \phi) \\ &= U_M \cos\left[\omega\left(t + \frac{\phi}{\omega}\right)\right] \quad \Rightarrow \Delta t = \frac{\phi}{\omega} \\ &= U_M \cos[\omega(t + \Delta t)] \end{aligned}$$



$$\Rightarrow u_{g1}(t) = u_g(t + \Delta t)$$

1. Les sources sinusoïdales

► Courbe en retard de phase $U_{g2}(t)$

- Par rapport à

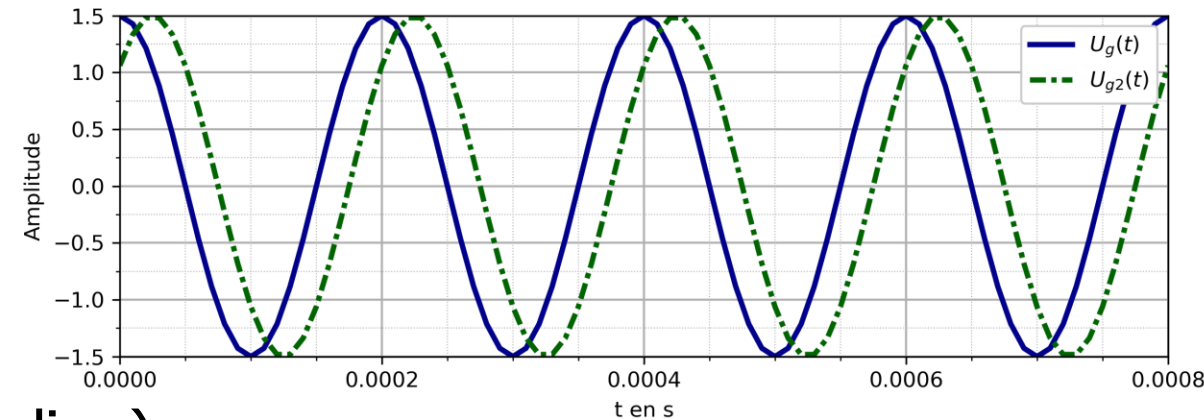
$$u_g(t) = U_M \cos(\omega t)$$

- Déphase négatif d'un angle ϕ (en radian)

$$u_{g2}(t) = U_M \cos(\omega t - \phi)$$

- Ecart temporel entre les deux courbes

$$\begin{aligned} u_{g2}(t) &= U_M \cos(\omega t - \phi) \\ &= U_M \cos\left[\omega\left(t - \frac{\phi}{\omega}\right)\right] \Rightarrow \Delta t = \frac{\phi}{\omega} \\ &= U_M \cos[\omega(t - \Delta t)] \end{aligned}$$



$$\Rightarrow u_{g2}(t) = u_g(t - \Delta t)$$

1. Les sources sinusoïdales

► Attention :

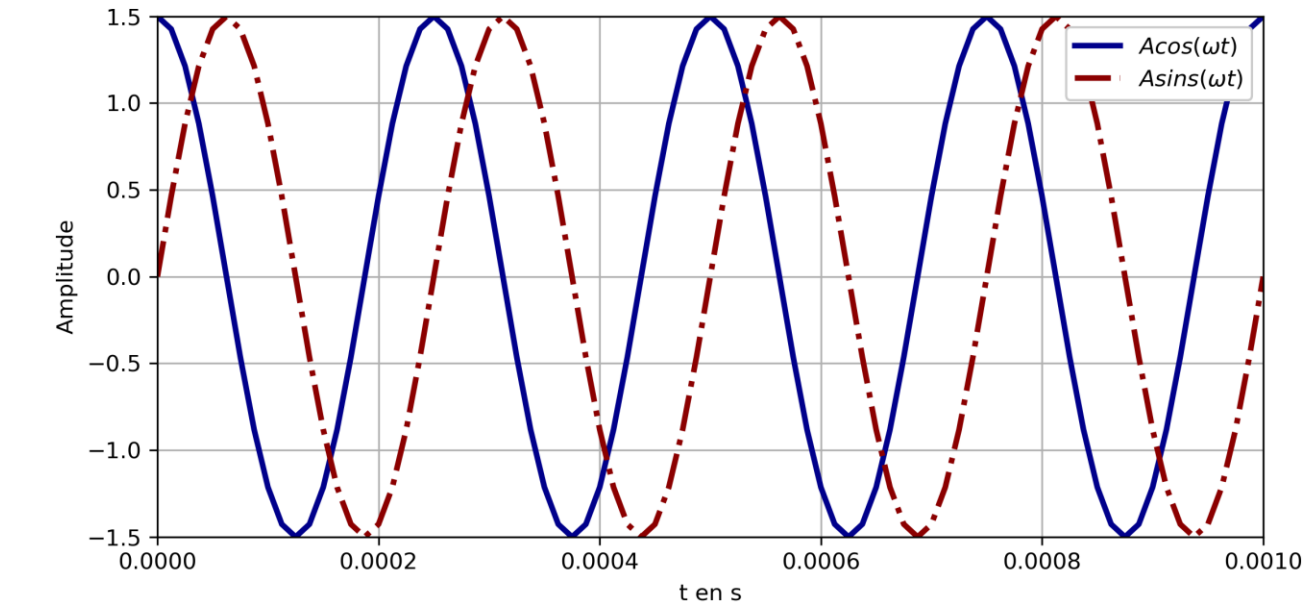
Le sinus est en retard de phase
de $\pi/2$ par rapport au cosinus

$$\sin(\omega t) = \cos\left(\omega t - \frac{\pi}{2}\right)$$

$$\cos(\omega t) = \sin\left(\omega t + \frac{\pi}{2}\right)$$

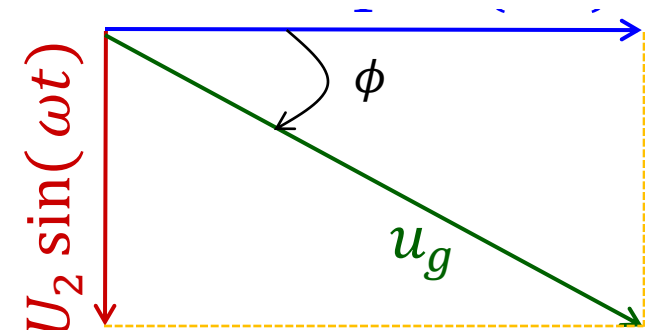
■ Représentation vectorielle :

$$u_g(t) = U_1 \cos(\omega t) + U_2 \sin(\omega t) \\ = U_M \cos(\omega t - \phi)$$



avec

$$\begin{cases} U_M = \sqrt{U_1^2 + U_2^2} \\ \tan(\phi) = \frac{U_2}{U_1} \end{cases}$$

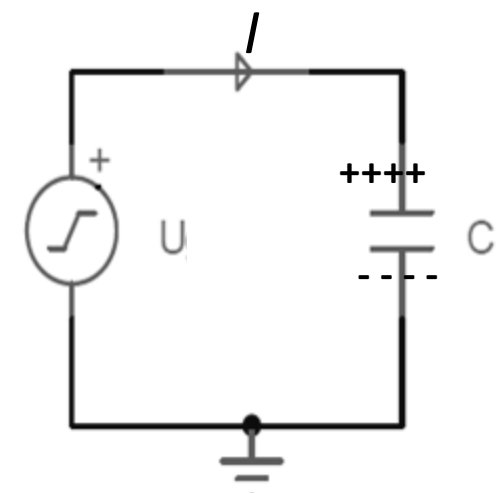


▶ Rappel sur le condensateur

- Lorsque l'on applique une tension U aux bornes du condensateur C
→ création d'un courant I : il se charge

$$Q = C \cdot U \quad \Rightarrow \quad I(t) = \frac{dq(t)}{dt} = \frac{dq(t)}{dU} \cdot \frac{dU(t)}{dt} = C \cdot \frac{dU(t)}{dt}$$

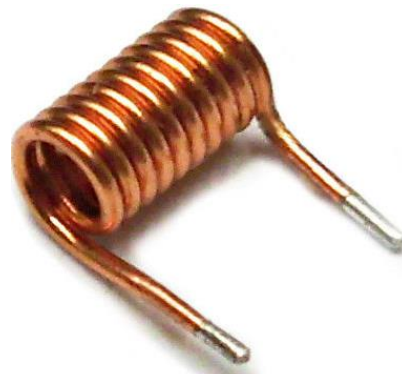
(on suppose C constant)



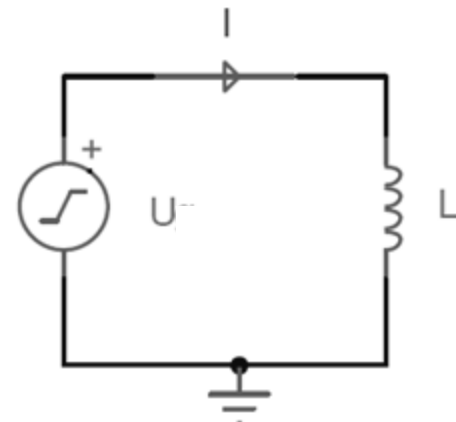
C : capacité du condensateur, s'exprime en Farad (F)

▶ Rappel sur la bobine

- Composant L qui génère une tension U à ses bornes quand un courant I la traverse
 - ✓ Crédit d'un flux magnétique
 - ✓ Elle s'oppose à toutes variations de courant



$$U = L \frac{dI}{dt}$$



L : inductance de la bobine, s'exprime en Henry (H)

▶ Introduction à la notation complexe

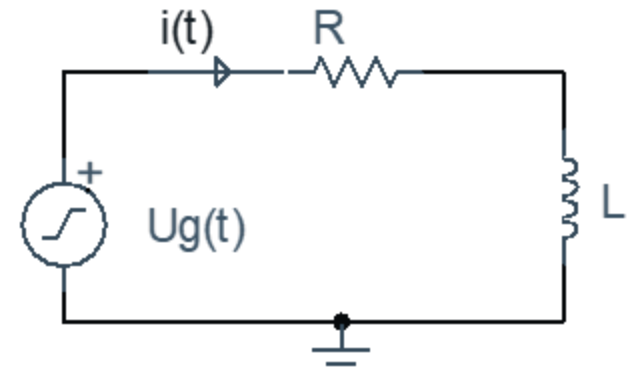
- Soit un circuit dont la source $u_g(t)$ est sinusoïdale :

$$u_g(t) = U_M \cos(\omega t + \theta)$$

- Objectif : calculer $i(t)$, $u_R(t)$ et $u_L(t)$

✓ Solution → loi des mailles :

$$u_g(t) = u_R(t) + u_L(t) \Leftrightarrow U_M \cos(\omega t + \theta) = Ri(t) + L \frac{di(t)}{dt}$$



- ❖ Résolution d'une équation différentielle : on verra plus tard pour le régime transitoire
- ❖ Ou utilisation des phaseurs et impédances complexes (en régime établi uniquement)

▶ Introduction à la notation complexe

- Signal réel : $u_g(t) = U_M \cos(\omega t + \theta)$

✓ partie réelle du signal complexe :

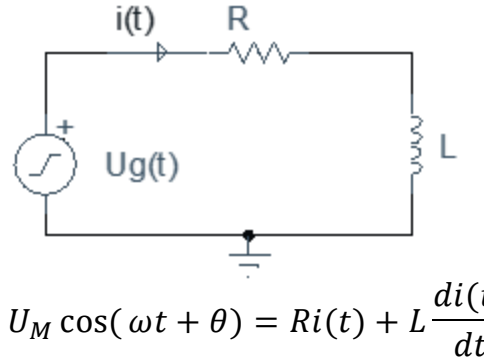
$$\hat{u}_g(t) = U_M e^{j(\omega t + \theta)}$$

- Pour rappel : $e^{j(\omega t + \theta)} = \cos(\omega t + \theta) + j \sin(\omega t + \theta)$

donc :

$$\begin{aligned}\hat{u}_g(t) &= U_M [\cos(\omega t + \theta) + j \sin(\omega t + \theta)] \\ u_g(t) &= \operatorname{Re}[\hat{u}_g(t)]\end{aligned}$$

- Pour calculer les montages, on connaît la fréquence/pulsation
 - ✓ ce qui nous intéresse : l'amplitude et la phase du signal



▶ Définition du phaseur

- Expression temporelle :

$$\begin{aligned} u_g(t) &= U_M \cos(\omega t + \theta) \\ i_g(t) &= I_M \cos(\omega t + \phi) \end{aligned}$$

- Notation complexe :

$$\begin{aligned} \hat{u}_g(t) &= U_M e^{j(\omega t + \theta)} = U_M e^{j\theta} e^{j\omega t} = \underline{U} \cdot e^{j\omega t} \\ \hat{i}_g(t) &= I_M e^{j(\omega t + \phi)} = I_M e^{j\phi} e^{j\omega t} = \underline{I} \cdot e^{j\omega t} \end{aligned}$$

- Définition du phaseur :

$$\begin{aligned} \underline{U} &= U_M e^{j\theta} = U_M \angle \theta \\ \underline{I} &= I_M e^{j\phi} = I_M \angle \phi \end{aligned}$$

3. Les phaseurs - relations avec les éléments passifs

► La résistance

- Loi des mailles : $u_R(t) = R i_R(t)$
- Avec la notation complexe : $\hat{U}_R(t) = R \hat{I}_R(t)$

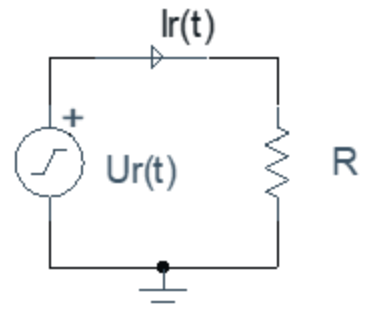
$$\rightarrow \underline{U_R} e^{j\omega t} = R \underline{I_R} e^{j\omega t} \Rightarrow \underline{U_R} = R \underline{I_R}$$

- On retrouve la loi d'Ohm qui lie les deux phaseurs

$\underline{U_R} = Z_R \underline{I_R}$ avec $Z_R = R$

$\rightarrow Z_R = \text{impédance de la résistance}$

- De même : $\underline{I_R} = \frac{U_M e^{j\theta}}{R} \Rightarrow \begin{cases} I_M = \frac{U_M}{R} \\ \phi = \theta \end{cases} \Rightarrow i_R(t) = I_M \cos(\omega t + \theta)$



$$u_R(t) = U_M \cos(\omega t + \theta)$$

$$i_R(t) = I_M \cos(\omega t + \phi)$$

$$\hat{U}_R(t) = U_M e^{j(\omega t + \theta)} = \underline{U_R} e^{j\omega t}$$

$$\hat{I}_R(t) = I_M e^{j(\omega t + \phi)} = \underline{I_R} e^{j\omega t}$$

$$\underline{U_R} = U_M e^{j\theta} \text{ et } \underline{I_R} = I_M e^{j\phi}$$

3. Les phaseurs - relations avec les éléments passifs

► La bobine

- Loi des mailles : $u_L(t) = L \frac{di_L(t)}{dt}$

- Avec la notation complexe : $\hat{u}_L(t) = L \frac{d\hat{i}_L(t)}{dt}$

$$\rightarrow \underline{U_L} e^{j\omega t} = L \frac{d}{dt} (\underline{I_L} e^{j\omega t})$$

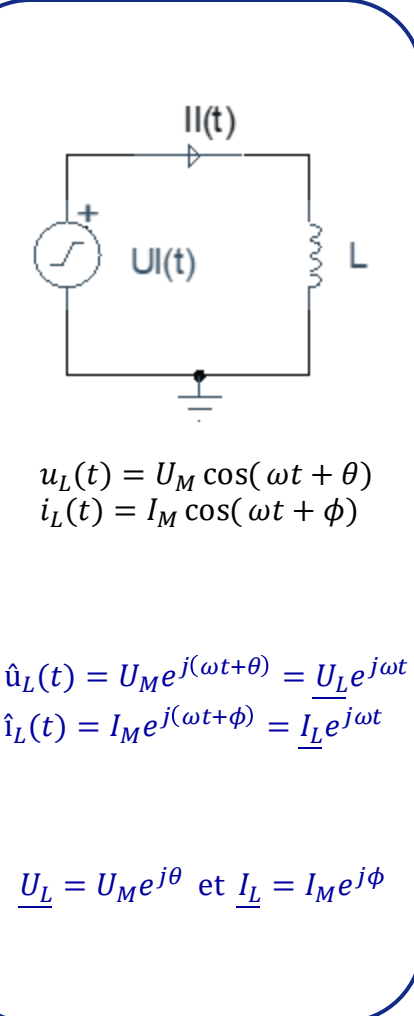
$$\underline{U_L} e^{j\omega t} = jL\omega \underline{I_L} e^{j\omega t}$$

$$\underline{U_L} = jL\omega \underline{I_L}$$

- On retrouve la loi d'Ohm qui lie les deux phaseurs

$\underline{U_L} = Z_L \underline{I_L}$ avec $Z_L = jL\omega$

→ Z_L : impédance de la bobine



3. Les phaseurs - relations avec les éléments passifs

▶ La bobine

- On a donc : $\underline{U}_L = jL\omega \underline{I}_L = L\omega \underline{I}_L e^{\frac{j\pi}{2}}$

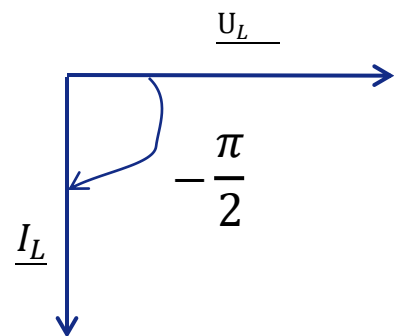
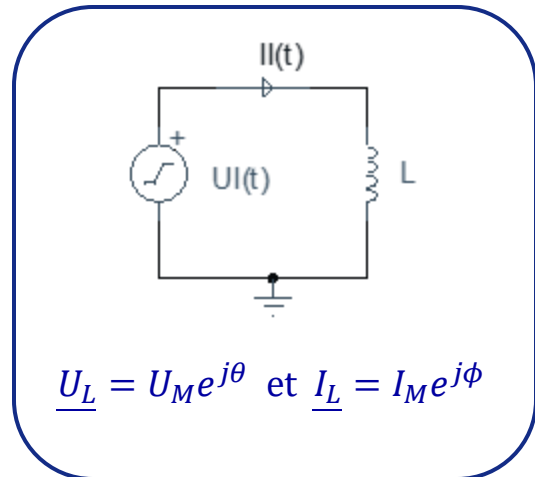
- Ce qui donne :

$$\underline{I}_L = \frac{\underline{U}_L}{L\omega} \cdot e^{-j\frac{\pi}{2}} \Rightarrow I_M e^{j\phi} = \frac{U_M}{L\omega} \cdot e^{j(\theta - \frac{\pi}{2})} \Rightarrow \begin{cases} I_M = \frac{U_M}{L\omega} \\ \phi = \theta - \frac{\pi}{2} \end{cases}$$

- Dans une bobine,

$$i_L(t) = \frac{U_M}{L\omega} \cos(\omega t + \theta - \frac{\pi}{2})$$

✓ le courant est en retard par rapport à la tension



3. Les phaseurs - relations avec les éléments passifs

► Le condensateur

- Loi des mailles : $i_C(t) = C \frac{du_C(t)}{dt}$
- Avec la notation complexe : $\hat{i}_C(t) = C \frac{d\hat{u}_C(t)}{dt}$

$$\rightarrow \underline{I_C} e^{j\omega t} = C \frac{d}{dt} (\underline{U_C} e^{j\omega t}) = jC\omega \underline{U_C} e^{j\omega t}$$

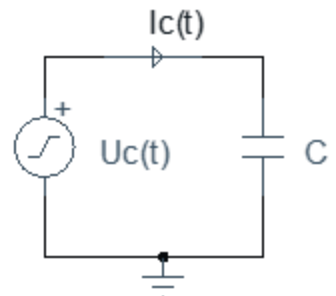
$$\underline{I_C} = jC\omega \underline{U_C}$$

$$\underline{U_C} = \frac{1}{jC\omega} \underline{I_C}$$

- On retrouve la loi d'Ohm qui lie les deux phaseurs :

$$\underline{U_C} = Z_C \underline{I_C} \text{ avec } Z_C = \frac{1}{jC\omega} = \frac{-j}{C\omega}$$

→ **Z_C** : impédance du condensateur



$$u_C(t) = U_M \cos(\omega t + \theta)$$

$$i_C(t) = I_M \cos(\omega t + \phi)$$

$$\hat{u}_C(t) = U_M e^{j(\omega t + \theta)} = \underline{U_C} e^{j\omega t}$$

$$\hat{i}_C(t) = I_M e^{j(\omega t + \phi)} = \underline{I_C} e^{j\omega t}$$

$$\underline{U_C} = U_M e^{j\theta} \text{ et } \underline{I_C} = I_M e^{j\phi}$$

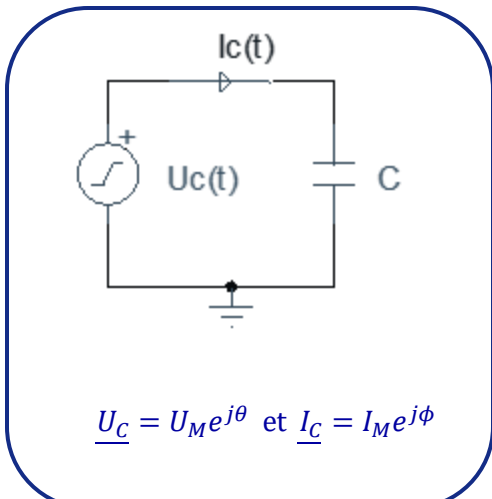
3. Les phaseurs - relations avec les éléments passifs

► Le condensateur

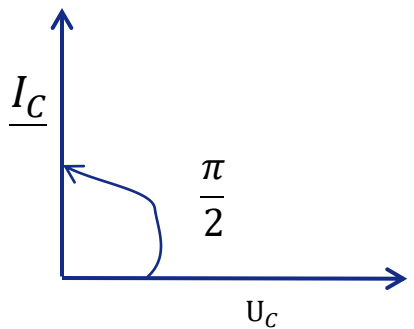
- On a donc : $\underline{U_C} = \frac{\underline{I_C}}{jC\omega} = \frac{\underline{I_C}}{C\omega e^{\frac{j\pi}{2}}}$

- Ce qui donne :

$$\left. \begin{array}{l} \underline{I_C} = C\omega \underline{U_C} \cdot e^{j\frac{\pi}{2}} \\ I_M e^{j\phi} = C\omega U_M \cdot e^{j(\theta + \frac{\pi}{2})} \end{array} \right\} I_M = C\omega U_M \text{ et } \phi = \theta + \frac{\pi}{2}$$



- Dans un condensateur, $i_C(t) = C\omega U_M \cos(\omega t + \theta + \frac{\pi}{2})$
le courant est en avance par rapport à la tension



3. Les phaseurs - relations avec les éléments passifs

► L'impédance

- **Grandeur complexe**

- ✓ qui est le rapport entre le phaseur de tension et le phaseur de courant : $Z = \frac{U}{I}$

- Expression générale : $Z = R + jX \Omega$

- ✓ R : **résistance**, X : **réactance**
 - ✓ Unité : **Ohm** (Ω)

- Impédance d'une résistance :

$$Z_R = R$$

→ valeur réelle positive

- Impédance d'une bobine :

$$Z_L = jL\omega$$

→ valeur imaginaire positive

- Impédance d'un condensateur :

$$Z_C = \frac{1}{jC\omega} = -\frac{j}{C\omega}$$

→ valeur imaginaire négative

3. Les phaseurs - relations avec les éléments passifs

► L'admittance

- **Grandeur complexe**
 - ✓ qui est le rapport entre le phaseur de courant et le phaseur de tension : $Y = \frac{1}{Z} = \frac{I}{U}$

- Expression générale : $Y = G + jB \text{ S}$

- ✓ G : **conductance**, B : **susceptance**
 - ✓ Unité : **Siemens (S)**

- Admittance de la résistance :

$$Y_R = \frac{1}{R} = G$$

→ valeur réelle

- Admittance d'une bobine :

$$Y_L = \frac{1}{jL\omega} = \frac{-j}{L\omega}$$

→ valeur imaginaire négative

- Admittance d'un condensateur :

$$Y_C = jC\omega$$

→ valeur imaginaire positive

3. Les phaseurs - relations avec les éléments passifs

► Impédances et admittances, exemples :

- Résistance de $1 \text{ k}\Omega$ à une fréquence de 1 MHz :

$$Z_R = R = 1 \text{ k}\Omega$$

$$Y_R = \frac{1}{R} = 1 \text{ mS}$$

- Bobine de 10 nH à une fréquence de 5 GHz :

$$Z_L = jL\omega = j10 \cdot 10^{-9} \cdot 2\pi \cdot 5 \cdot 10^9 = j314,16 \Omega$$

$$Y_L = \frac{1}{jL\omega} = \frac{1}{314,16j} = -j3,183 \text{ mS}$$

- Condensateur de 15 pF à une fréquence de 50 MHz :

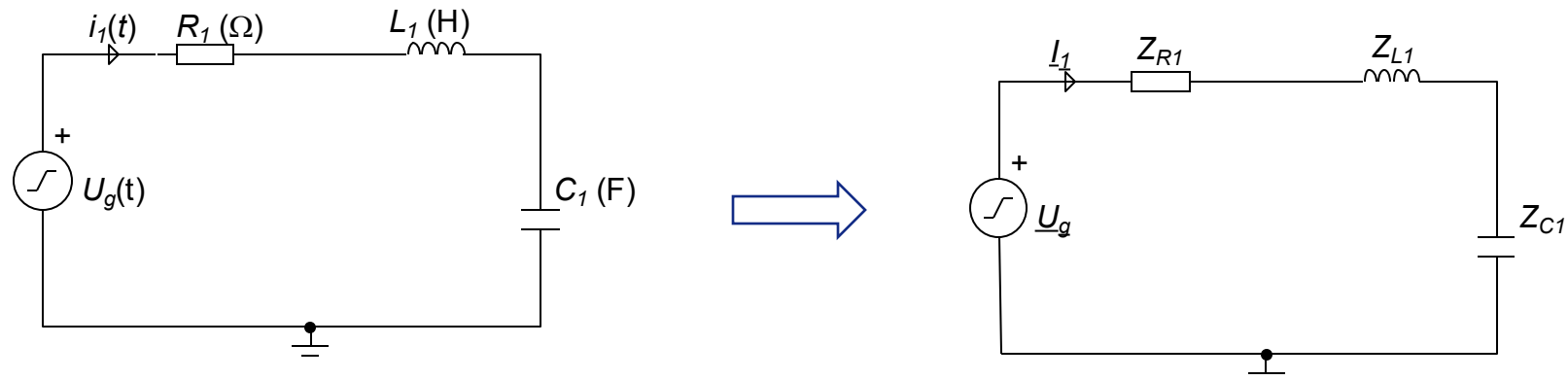
$$Z_c = \frac{1}{jC\omega} = \frac{1}{j15 \cdot 10^{-12} \cdot 2\pi 50 \cdot 10^6} = -j212,2 \Omega$$

$$Y_c = jC\omega = j15 \cdot 10^{-12} \cdot 2\pi 50 \cdot 10^6 = j4,71 \text{ mS}$$

Les phaseurs - relations avec les éléments passifs

► Méthode de calcul des montages $u(t) = U_M \cos(\omega t + \theta) \Leftrightarrow \underline{U} = U_M e^{j\theta}$

- Transformation des montages pour les résoudre en utilisant les lois vues en continue
 - ✓ Les générateurs sont représentés par leurs **phaseurs**
 - ✓ Les éléments passifs sont représentés par leurs **impédances**
 - ✓ Les équations différentielles sont transformées en **lois d'Ohm** : $\underline{U} = Z\underline{I}$
 - ✓ Le circuit est calculé avec les phaseurs avant de refaire la transformation inverse



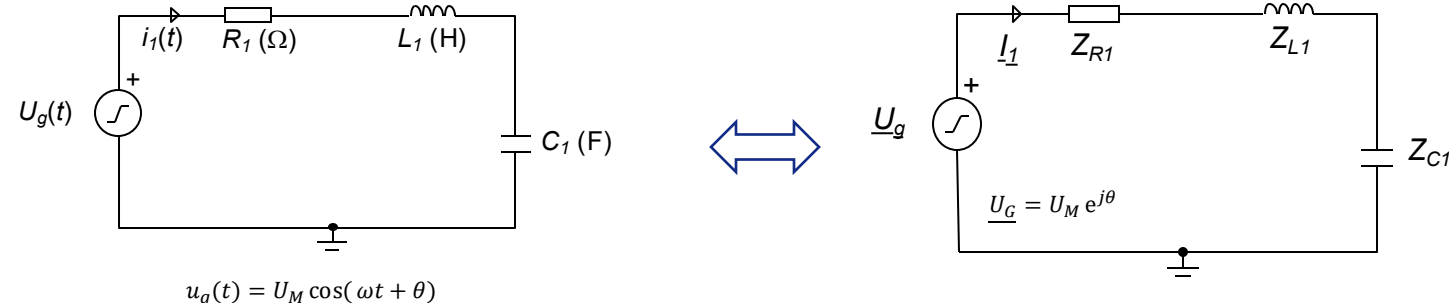
$$u_g(t) = R_1 \cdot i(t) + L \frac{di(t)}{dt} + \frac{1}{C} \int_0^t i(t) dt$$

$$\underline{U}_g = Z_R \cdot \underline{I}_1 + Z_L \cdot \underline{I}_1 + Z_C \cdot \underline{I}_1 = \underline{I}_1 \cdot (Z_R + Z_L + Z_C)$$

3. Les phaseurs - relations avec les éléments passifs

► Méthode de calcul des montages : on cherche $i_1(t)$

- $U_M = 5V$,
- $\theta = 0$ radians,
- $\omega = 2.10^6$ rad/s,
- $R_1 = 20 \Omega$,
- $L_1 = 40 \mu\text{H}$,
- $C_1 = 25 \text{nF}$



- Phaseur du générateur : $\underline{U}_G = 5 e^{j0} = 5 \text{ V}$
- Les impédances : $Z_{R1} = 20 \Omega$, $Z_{L1} = j * 40.10^{-6} * 2.10^6 = 80j \Omega$, $Z_{C1} = \frac{1}{j * 25.10^{-9} * 2.10^6} = -20j \Omega$
- Calcul du courant : $\underline{U}_g = Z_{R1} \cdot \underline{I}_1 + Z_{L1} \cdot \underline{I}_1 + Z_{C1} \cdot \underline{I}_1 \Rightarrow \underline{I}_1 = \frac{\underline{U}_g}{Z_{R1} + Z_{L1} + Z_{C1}}$

$$\Rightarrow \underline{I}_1 = \frac{5}{20 + 80j - 20j} = \frac{5}{20 - 60j} = \frac{0.25}{1 - 3j} = \frac{0.25}{1 + 9} (1 + 3j) = 0.025(1 + 3j) \Rightarrow \underline{I}_1 = 0.025\sqrt{10} \cdot e^{j \tan^{-1}(3)} = 0.79e^{j1.25} \Rightarrow i_1(t) = 0.79 \cdot \cos(2.10^6 t + 1.25)$$

4. Lois de Kirchhoff en régime établi

Pour le calcul des montages en régime sinusoïdal établi :

- Tous les théorèmes sont conservés à condition de :
 - ✓ remplacer les expressions des générateurs par leurs phaseurs,
 - ✓ remplacer les valeurs des composants par leurs impédances,
 - ✓ et réécrire toutes les lois en fonction de U , I , Z et Y .
- Une fois les phaseurs des courants et tensions exprimés sous forme polaire, on retourne à l'expression temporelle.

4. Lois de Kirchhoff en régime établi

► Loi des nœuds

- ✓ La somme des phaseurs des courants qui arrivent à un nœuds est nulle :

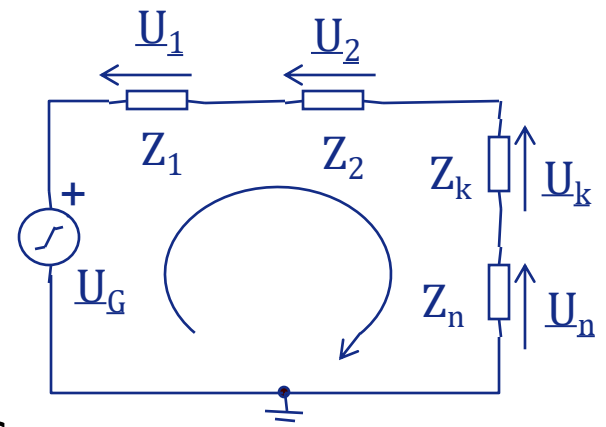
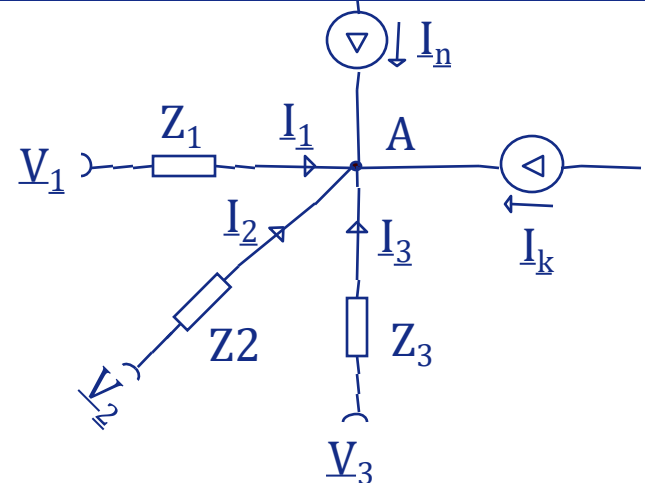
$$\sum_{i=1}^{i=n} I_i = 0$$

► Loi des mailles

- ✓ La somme des phaseurs des tensions pris dans le même sens dans une maille est nulle :

$$\underline{U}_G = \sum_{i=1}^{i=n} \underline{U}_i$$

- ✓ Signe positif quand le phaseur de tension est dans le même sens que la maille, signe négatif sinon



4. Lois de Kirchhoff en régime établi

► Mise en série et mise en parallèle

- N composants en série d'impédances Z_i :

✓ → Équivalent à un composant d'impédance Z_{eq} :

$$Z_{eq} = \sum_{i=1}^N Z_i$$

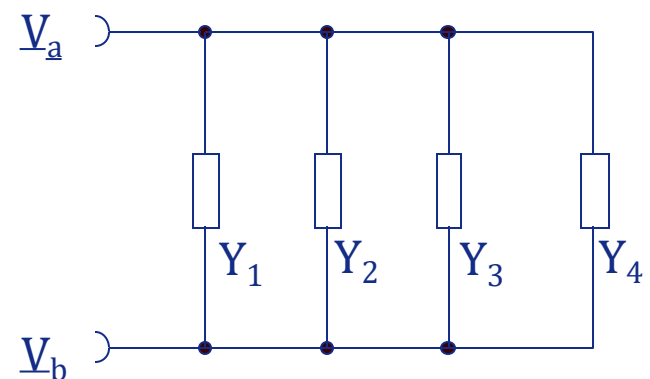
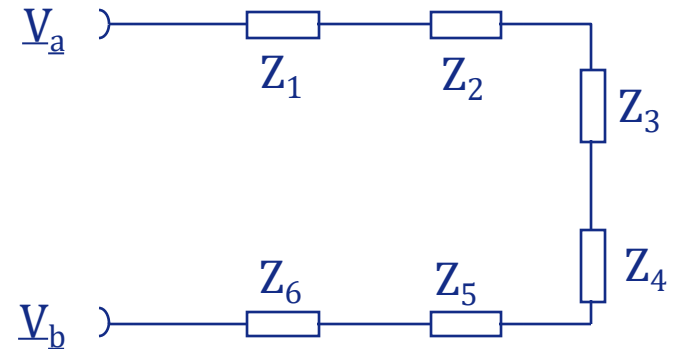
- N composants en parallèle d'admittances Y_i :

✓ → Équivalent à un composant d'admittance Y_{eq} :

$$Y_{eq} = \sum_{i=1}^N Y_i$$

- On peut également écrire :

$$Z_{eq} = \frac{1}{\sum_{i=1}^N \frac{1}{Z_i}}$$



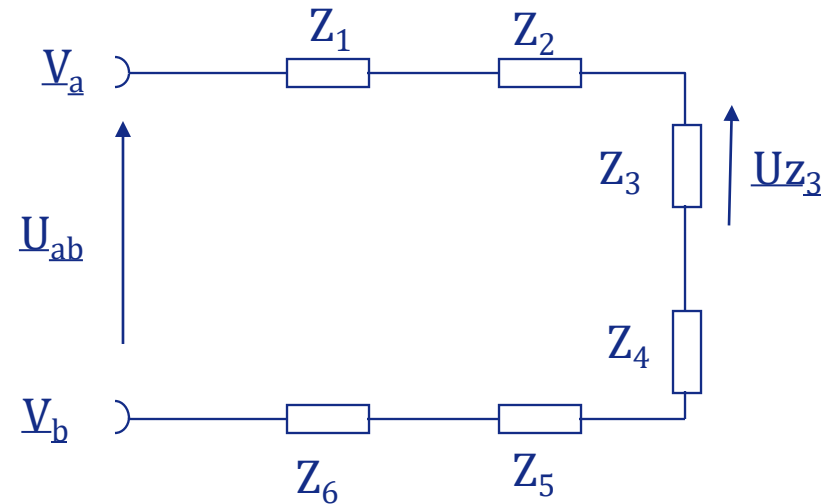
4. Lois de Kirchhoff en régime établi

▶ Ponts diviseurs

▪ Pont diviseur de tension :

✓ quand N composants d'impédances Z_i sont **en série** et que la tension aux bornes de ces N composants est U_{ab} , la tension aux bornes du $k^{\text{ième}}$ composant vaut :

$$\underline{U}_{Zk} = \frac{Z_k}{\sum_{i=1}^N Z_i} \underline{U}_{ab}$$



4. Lois de Kirchhoff en régime établi

▶ Ponts diviseurs

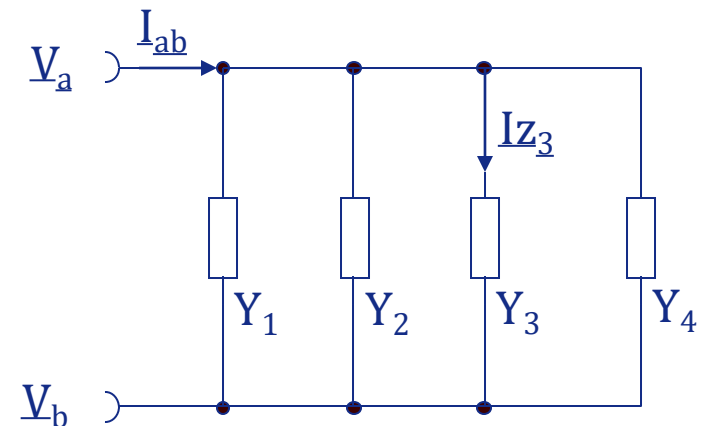
▪ Pont diviseur de courant :

✓ quand N composants d'admittance Z_i sont **en parallèle** et que le courant arrivant au nœud reliant les N branches est I_{ab} , le courant traversant le $k^{\text{ième}}$ composant vaut :

$$\frac{I_{Zk}}{Y_k} = \frac{Y_k}{\sum_{i=1}^{i=N} Y_i} I_{ab}$$

✓ On peut également écrire :

$$\frac{I_{Zk}}{Z_k} = \frac{1}{\sum_{i=1}^{i=N} \frac{1}{Z_i}} I_{ab}$$



4. Lois de Kirchhoff en régime établi

► Associations de sources sinusoïdales

- N sources de tensions **en série** sont équivalentes à une source de tension ayant pour valeur de phaseur :

$$\underline{U}_G = \sum_{i=1}^{i=N} \underline{U}_{Gi}$$

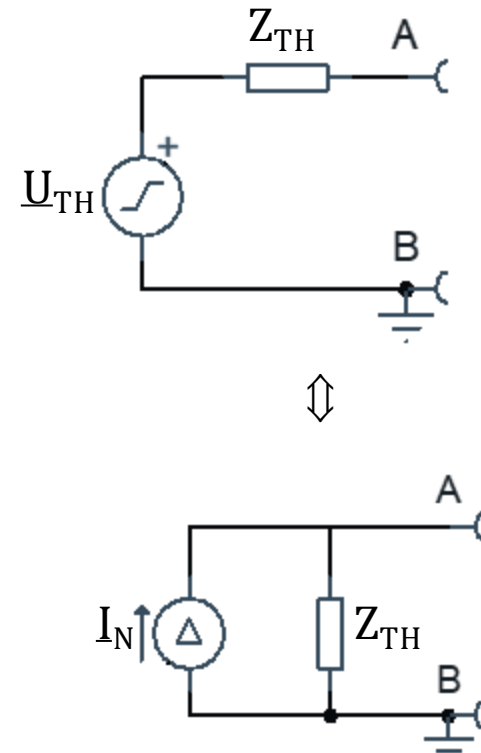
- N sources de courant **en parallèle** sont équivalentes à une source de courant ayant pour valeur de phaseur :

$$\underline{I}_G = \sum_{i=1}^{i=N} \underline{I}_{Gi}$$

4. Lois de Kirchhoff en régime établi

▶ Transformation de Thévenin/Norton

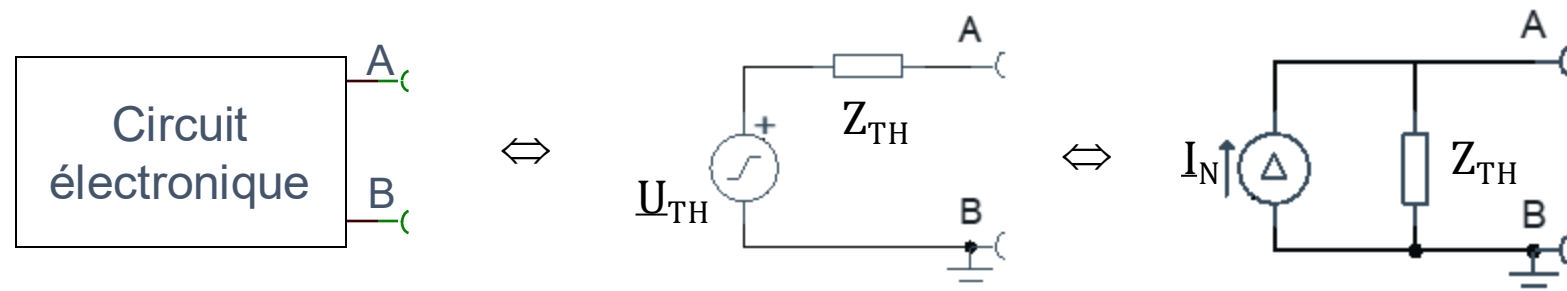
- Les sources de tension réelles sont des générateurs de tension avec un composant d'impédance Z_{TH} en série. Il s'agit du **modèle de Thévenin**
- Les sources de courant réelles sont des générateurs de courant avec un composant d'admittance Y_{TH} en parallèle. Il s'agit du **modèle de Norton**
- Les deux modèles sont équivalents avec :
$$\underline{U}_{TH} = Z_{TH} \underline{I}_N$$



4. Lois de Kirchhoff en régime établi

► Théorème de Thévenin/Norton

- En mode sinusoïdal établi, on peut remplacer un circuit par son schéma équivalent de Thévenin ou de Norton :



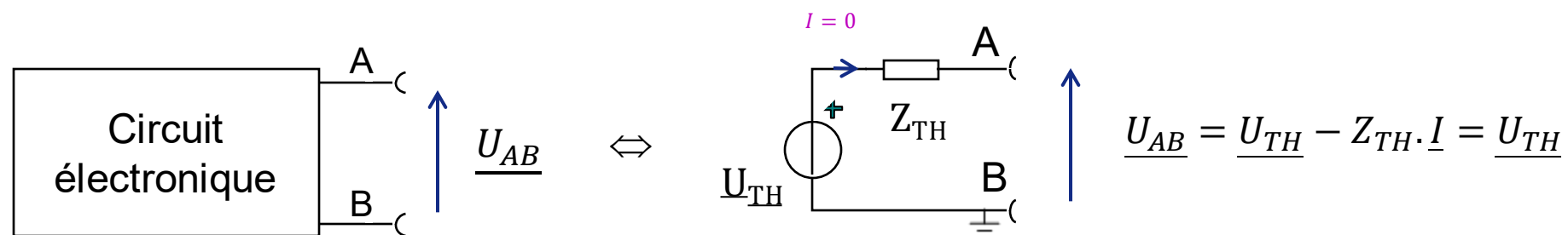
- Le calcul est le même qu'en continu :
 - ✓ Tension circuit ouvert U_{TH} ,
 - ✓ courant de court-circuit I_N ,
 - ✓ SNLE + E_0/I_0 (SNLE = Sources non liées éteintes).

4. Lois de Kirchhoff en régime établi

► Théorème de Thévenin/Norton

- **Principe de calcul de U_{TH}** : tension « à vide »

- ✓ Rien n'est connecté à la sortie du montage
- ✓ Circuit ouvert : $I = 0$



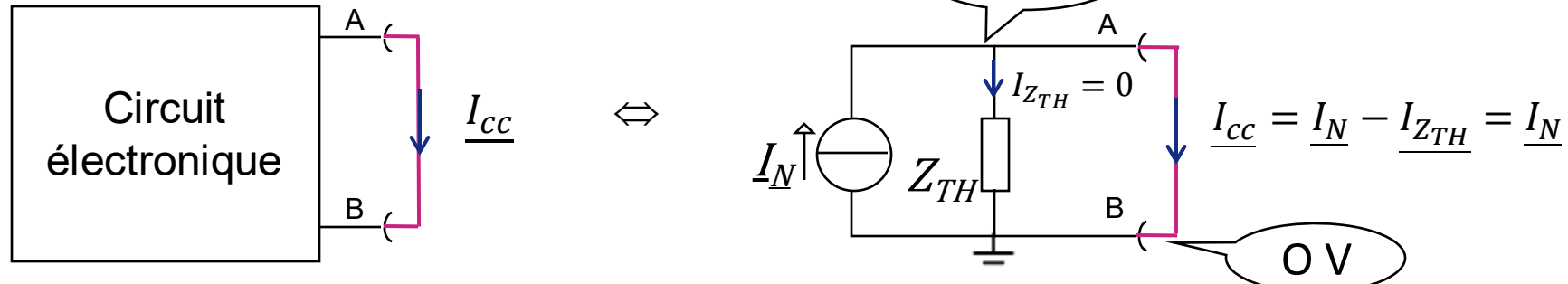
- ✓ On calcule la tension « à vide » U_{AB}
→ on en déduit donc que $U_{TH} = U_{AB}$

4. Lois de Kirchhoff en régime établi

► Théorème de Thévenin/Norton

- Principe de calcul de I_N : sortie en court circuit

- ✓ Fil entre A et B : $V_A = V_B$
- ✓ $U_{Zth} = V_A - V_B = 0 \text{ V}$



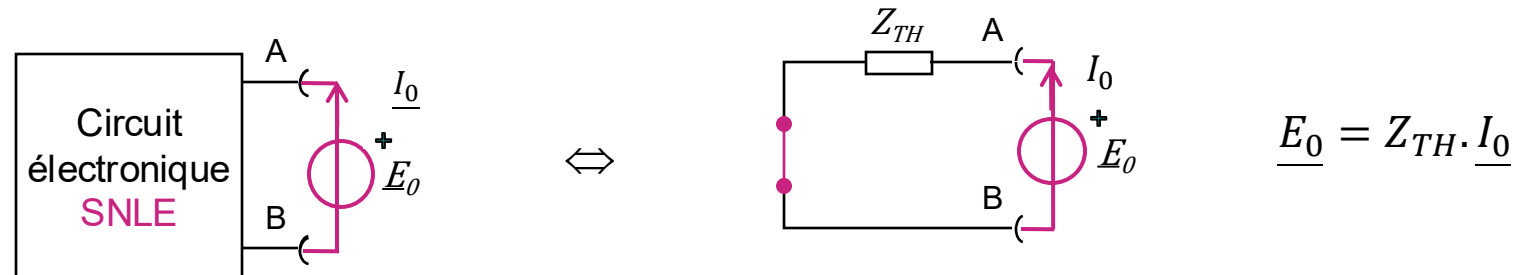
- ✓ On calcule le courant de court-circuit I_{cc}
- on en déduit que $I_N = I_{cc}$

4. Lois de Kirchhoff en régime établi

► Théorème de Thévenin/Norton

- **Principe de calcul de R_{TH}** : SNLE + E_0 / I_0

- ✓ On éteint les sources non liées (indépendantes) uniquement
- ✓ On place un générateur E_0 en sortie du montage
- ✓ On calcule la relation entre E_0 et I_0 : $E_0 = f(I_0)$



- ✓ On déduit la valeur de Z_{TH} :

$$Z_{TH} = \frac{E_0}{I_0} = \frac{f(I_0)}{I_0}$$

- ✓ Une fois les trois calculs terminés, on vérifie que l'on retrouve bien $U_{TH} = Z_{TH} \cdot I_N$

4. Lois de Kirchhoff en régime établi

► Théorème de Millman

- le potentiel V_A d'un nœud A, sur lequel sont connectées n branches avec n composants d'impédances Z_i (dont le potentiel à l'autre extrémité est V_i) et m branches avec des sources de courant I_j arrivant au nœud, s'exprime par :

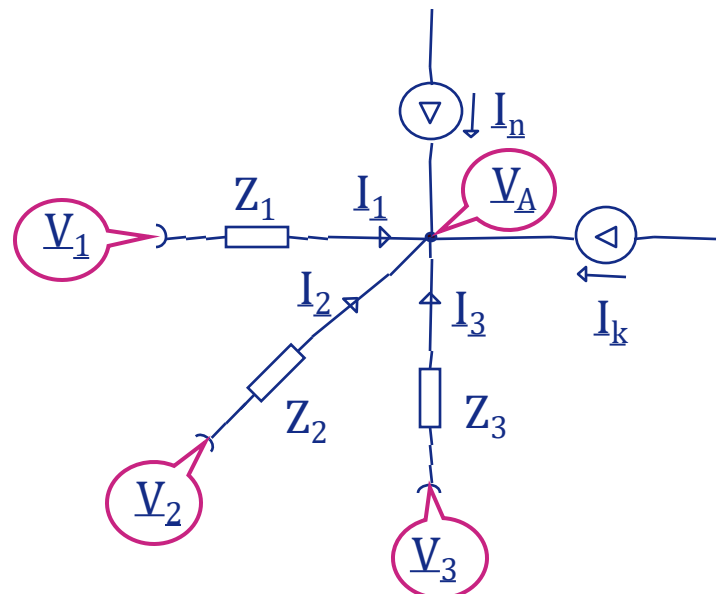
✓ Preuve : $\underline{I_1} + \underline{I_2} + \underline{I_3} + \underline{I_{g_k}} + \underline{I_{g_n}} = 0$

$$\frac{\underline{V_1} - \underline{V_A}}{Z_1} + \frac{\underline{V_2} - \underline{V_A}}{Z_2} + \frac{\underline{V_3} - \underline{V_A}}{Z_3} + \underline{I_{g_k}} + \underline{I_{g_n}} = 0$$

$$\left(\frac{1}{Z_1} + \frac{1}{Z_2} + \frac{1}{Z_3} \right) \underline{V_A} = \frac{\underline{V_1}}{Z_1} + \frac{\underline{V_2}}{Z_2} + \frac{\underline{V_3}}{Z_3} + \underline{I_{g_k}} + \underline{I_{g_n}}$$

$$\Rightarrow \underline{V_A} = \frac{\frac{\underline{V_1}}{Z_1} + \frac{\underline{V_2}}{Z_2} + \frac{\underline{V_3}}{Z_3} + \underline{I_{g_k}} + \underline{I_{g_n}}}{\frac{1}{Z_1} + \frac{1}{Z_2} + \frac{1}{Z_3}}$$

$$\underline{V_A} = \frac{\sum_{i=1}^n \frac{\underline{V_i}}{Z_i} + \sum_{j=k}^m \underline{I_{g_j}}}{\sum_{i=1}^n \frac{1}{Z_i}}$$



4. Lois de Kirchhoff en régime établi

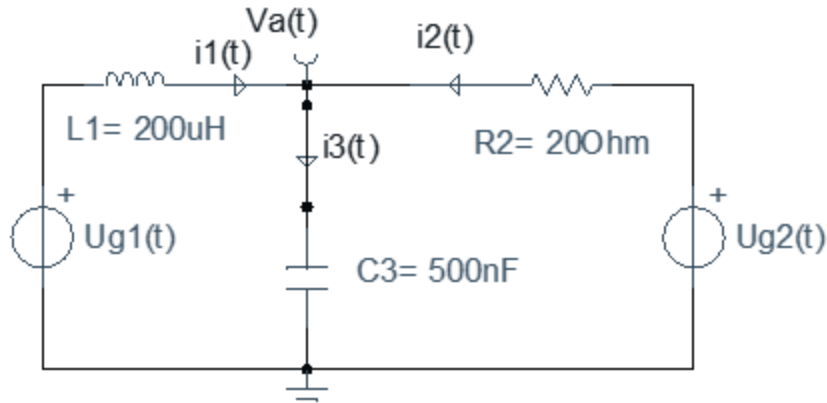
► Exemple :

Calculer $V_A(t)$?

$$u_{g1}(t) = 4 \cos\left(\omega t + \frac{\pi}{2}\right)$$

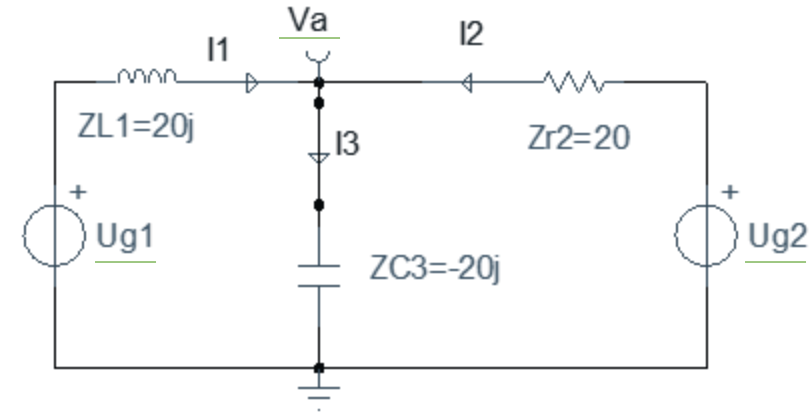
$$u_{g2}(t) = 8 \cos(\omega t + \pi)$$

$$\omega = 10^5 \text{ rad.s}^{-1}$$



$$\underline{U}_{g1} = 4e^{j\frac{\pi}{2}} = 4j$$

$$\underline{U}_{g2} = 8e^{j\pi} = -8$$



$$\underline{V}_A = \frac{\frac{\underline{U}_{G1}}{Z_{L1}} + \frac{\underline{U}_{G2}}{Z_{R2}} + \frac{0}{Z_{C3}}}{\frac{1}{Z_{L1}} + \frac{1}{Z_{R2}} + \frac{1}{Z_{C3}}}$$

$$\Rightarrow \underline{V}_A = \frac{\frac{4j}{20j} + \frac{-8}{20}}{\frac{1}{20j} + \frac{1}{20} + \frac{1}{-20j}} = \frac{4 - 8}{1} = -4 = 4e^{j\pi}$$

$$\Rightarrow V_A(t) = 4 \cos(10^5 t + \pi)$$

Ce qu'il faut retenir

- L'amplitude et la phase d'un signal, la fréquence, la pulsation, la période
 - ✓ Notions de déphasage : retard et avance

$$u_G(t) = \underline{U}_M \cos(\omega t + \theta) \quad , \quad i_G(t) = \underline{I}_M \cos(\omega t + \phi) \quad \omega = 2\pi F \text{ rad.s}^{-1}$$

- Les phaseurs pour passer de l'expression temporelle d'un signal à son expression dans le domaine fréquence et vice versa

$$\underline{U} = U_M e^{j\theta} = U_M \angle \theta \quad , \quad \underline{I} = I_M e^{j\phi} = I_M \angle \phi$$

- Impédances et admittances : $Z = \frac{\underline{U}}{\underline{I}}$ Ω (Ohm) $Y = \frac{1}{Z} = \frac{\underline{I}}{\underline{U}}$ S (Siemens)

✓ Pour les passifs :

$$Z_R = R \text{ } \Omega,$$

$$Z_L = jL\omega \text{ } \Omega,$$

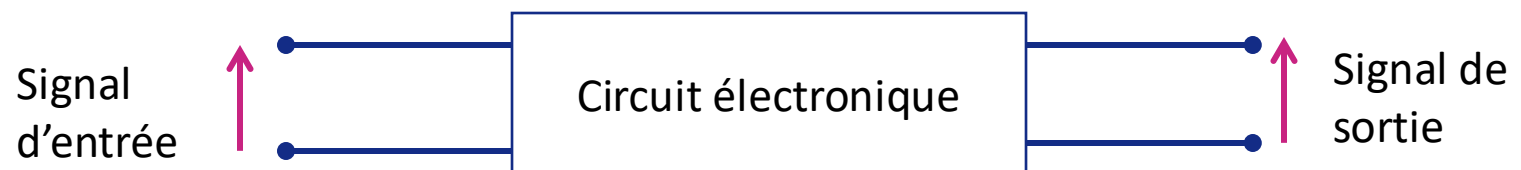
$$Z_C = \frac{1}{jC\omega} = -\frac{j}{C\omega} \text{ } \Omega$$

- Tous les théorèmes s'appliquent avec : $\underline{U} = Z\underline{I}$

5. Fonctions de transfert

► Définition d'une fonction de transfert

- Circuit électronique
 - ✓ Une entrée : tension, courant ou une puissance
 - ✓ Une sortie : tension, courant ou une puissance
- Fonction de transfert : rapport entre le signal de sortie et le signal d'entrée



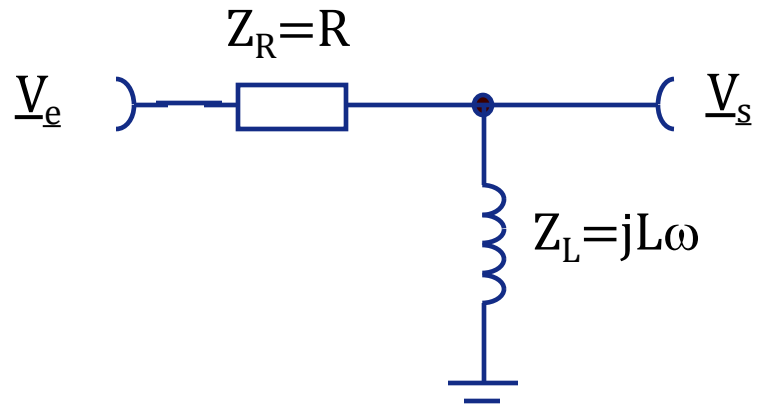
$$H(j\omega) = \frac{\text{Signal de sortie}}{\text{Signal d'entrée}}$$

✓ En tension :

$$H(j\omega) = \frac{V_s(j\omega)}{V_e(j\omega)}$$

5. Fonctions de transfert

► Exemple



$$\underline{V}_s = \frac{Z_L}{Z_L + Z_R} \underline{V}_e \quad \Rightarrow$$

$$H(j\omega) = \frac{\underline{V}_s}{\underline{V}_e} = \frac{jL\omega}{R + jL\omega}$$

5. Fonctions de transfert

▶ Expression de la fonction de transfert

- **H(j ω) complexe :** $H(j\omega) = \text{Re}[H(j\omega)] + j.\text{Im}[H(j\omega)]$
- **Module de la fonction de transfert :** $|H(j\omega)| = \sqrt{\text{Re}[H(j\omega)]^2 + \text{Im}[H(j\omega)]^2}$
 - ✓ Le module de H(j ω) représente le **rapport** entre l'**amplitude** du signal de **sortie** et l'**amplitude** du signal d'**entrée**
 - ❖ Phaseurs :

$$\underline{V_s} = U_s e^{j\varphi} \quad \text{et} \quad \underline{V_e} = U_e e^{j\theta}$$

$$|H(j\omega)| = \frac{|V_s|}{|V_e|} \Rightarrow U_s = |H(j\omega)| \cdot U_e$$

- ❖ **Module supérieur à 1 → gain**
- ❖ **Module inférieur à 1 → atténuation**

5. Fonctions de transfert

▶ Expression de la fonction de transfert

- Module de la fonction de transfert en décibel : dB

$$20\log_{10}(|H(j\omega)|) = 20\log_{10}\left(\left|\frac{V_s}{V_e}\right|\right) = 20\log_{10}\left(\left|\frac{V_s(j\omega)}{V_e(j\omega)}\right|\right)$$

✓ Valeurs importantes : $\log_{10}(1) = 0 \text{dB}$

$$\log_{10}(10) = 1 \text{dB}$$

$$20\log_{10}(2) = 6 \text{dB}$$

$$20\log_{10}(\sqrt{2}) = 3 \text{dB}$$

5. Fonctions de transfert

▶ Expression de la fonction de transfert

- Argument de la fonction de transfert (radians) :

$$\text{Arg}[H(j\omega)] = \tan^{-1} \frac{\text{Im}[H(j\omega)]}{\text{Re}[H(j\omega)]}$$

✓ L'argument représente le **déphasage** introduit par le circuit sur le signal d'entrée

✓ Phaseurs : $\underline{V}_s = U_s e^{j\varphi}$ et $\underline{V}_e = U_e e^{j\theta}$

$$\begin{aligned}\text{Arg}[H(j\omega)] &= \arg(\underline{V}_s) - \arg(\underline{V}_e) = \varphi - \theta \\ \Rightarrow \varphi &= \theta + \text{Arg}[H(j\omega)]\end{aligned}$$

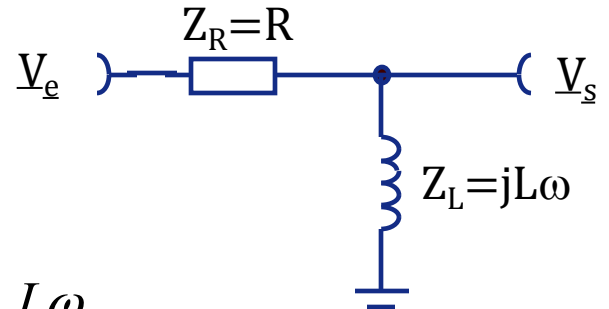
✓ Avec : $V_e(t) = U_e \cos(\omega t + \theta)$

$$\Rightarrow V_s(t) = U_s \cos(\omega t + \phi) = |H(j\omega)| U_e \cos(\omega t + \theta + \text{Arg}[H(j\omega)])$$

5. Fonctions de transfert

► Exemple :

$$H(j\omega) = \frac{V_s}{V_e} = \frac{jL\omega}{R + jL\omega}$$



- Module de la fonction de transfert : $|H(j\omega)| = \frac{L\omega}{\sqrt{R^2 + L^2\omega^2}}$
- Argument de la fonction de transfert : $\text{Arg}[H(j\omega)] = \frac{\pi}{2} - \tan^{-1} \frac{L\omega}{R}$
- Expression : $V_s(t) = \frac{L\omega}{\sqrt{R^2 + L^2\omega^2}} * U_e * \cos(\omega t + \frac{\pi}{2} - \tan^{-1} \frac{L\omega}{R} + \theta)$
- Exemple : calcul avec $Z_L = 50j \Omega$, $R = 100 \Omega$ et $V_e(t) = 4\cos(2\pi 10^3 t + 0.5)$

5. Fonctions de transfert

▶ Expression généralisée d'une fonction de transfert

- Toute fonction de transfert d'un montage peut être mise sous la forme d'un **produit de fonctions « élémentaires »**, par exemple :

$$H(j\omega) = K \cdot \left(1 + j \frac{\omega}{\omega_{C1}}\right) \cdot \left(\frac{1}{1 + j \frac{\omega}{\omega_{C2}}}\right) \cdot \left(\frac{1}{\left(j \frac{\omega}{\omega_0}\right)^2 + \frac{2m}{\omega_0} j\omega + 1}\right)$$

- ✓ K = gain statique de la fonction de transfert pour $\omega = 0$
- Définitions :
 - ✓ Les valeurs de ω qui annulent le numérateur de $|H(j\omega)| =$ **zéros de la fonction de transfert**
 - ✓ Les valeurs de ω qui annulent le dénominateur de $|H(j\omega)| =$ **pôles de la fonction de transfert**
 - ✓ Le degré le plus élevé sur ω = **ordre de la fonction de transfert**

5. Fonctions de transfert

▶ Expression généralisée d'une fonction de transfert

- Module de la fonction de transfert en dB :

$$20\log_{10}|H(j\omega)| = 20\log_{10}(K) + 20\log_{10}\left(\sqrt{1+\frac{\omega^2}{\omega_{C1}^2}}\right) + 20\log_{10}\left(\frac{1}{\sqrt{1+\frac{\omega^2}{\omega_{C2}^2}}}\right) + 20\log_{10}\left(\frac{1}{\sqrt{\left(1-\frac{\omega^2}{\omega_0^2}\right)^2 + \left(\frac{2m}{\omega_0}\omega\right)^2}}\right)$$

- ✓ Le module en dB de la fonction de transfert est donc la **somme des modules en dB** de fonctions de transferts simples
- Analyse des fonctions simples → **analyse aux asymptotes**
 - ✓ Traçage des diagrammes asymptotiques des modules en dB
 - ✓ Addition des diagrammes pour obtenir le diagramme global

5. Fonctions de transfert

▶ Expression généralisée d'une fonction de transfert

- Argument de la fonction de transfert (en radian) :

$$\text{Arg}(H(j\omega)) = \text{Arg}(K) + \tan^{-1}\left(\frac{\omega}{\omega_{C1}}\right) - \tan^{-1}\left(\frac{\frac{2m}{\omega_0}\omega}{1 - \frac{\omega^2}{\omega_0^2}}\right) - \tan^{-1}\left(\frac{\omega}{\omega_{C2}}\right)$$

- ❖ Si $K > 0$: $\text{Arg}(K) = 0$
- ❖ Si $K < 0$: $\text{Arg}(K) = \pi$

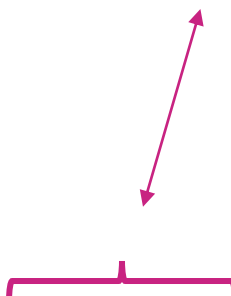
✓ Comme pour le module, on **additionne les comportements en phase** des différentes fonctions élémentaires

- Analyse des fonctions simples → **analyse aux asymptotes**
 - ✓ Traçage des diagramme des asymptotes des arguments en radian
 - ✓ Addition des diagrammes pour obtenir le diagramme global

5. Fonctions de transfert

► Principe des diagrammes de Bode

- Tracés de graphiques : module en dB et argument de $H(j\omega)$ en fonction de ω
- Principe échelle semilogx (pour l'axe des « x ») : $X = \text{Log10}(\omega)$
 - ✓ **avantage : on trace des droites...**
- Exemple : $H(j\omega) = (j\omega)^n \Rightarrow |H(j\omega)| = \omega^n$
 - ✓ En décibel : $20\text{Log}_{10}(|H(j\omega)|) = 20\text{Log}_{10}(\omega^n) = n.20\text{Log}_{10}(\omega)$
 - ✓ Avec l'expression de X : $20\text{Log}_{10}(|H(j\omega)|) = n.20.X \Rightarrow Y = K * X$
 - ❖ On a bien l'équation d'une droite



5. Fonctions de transfert

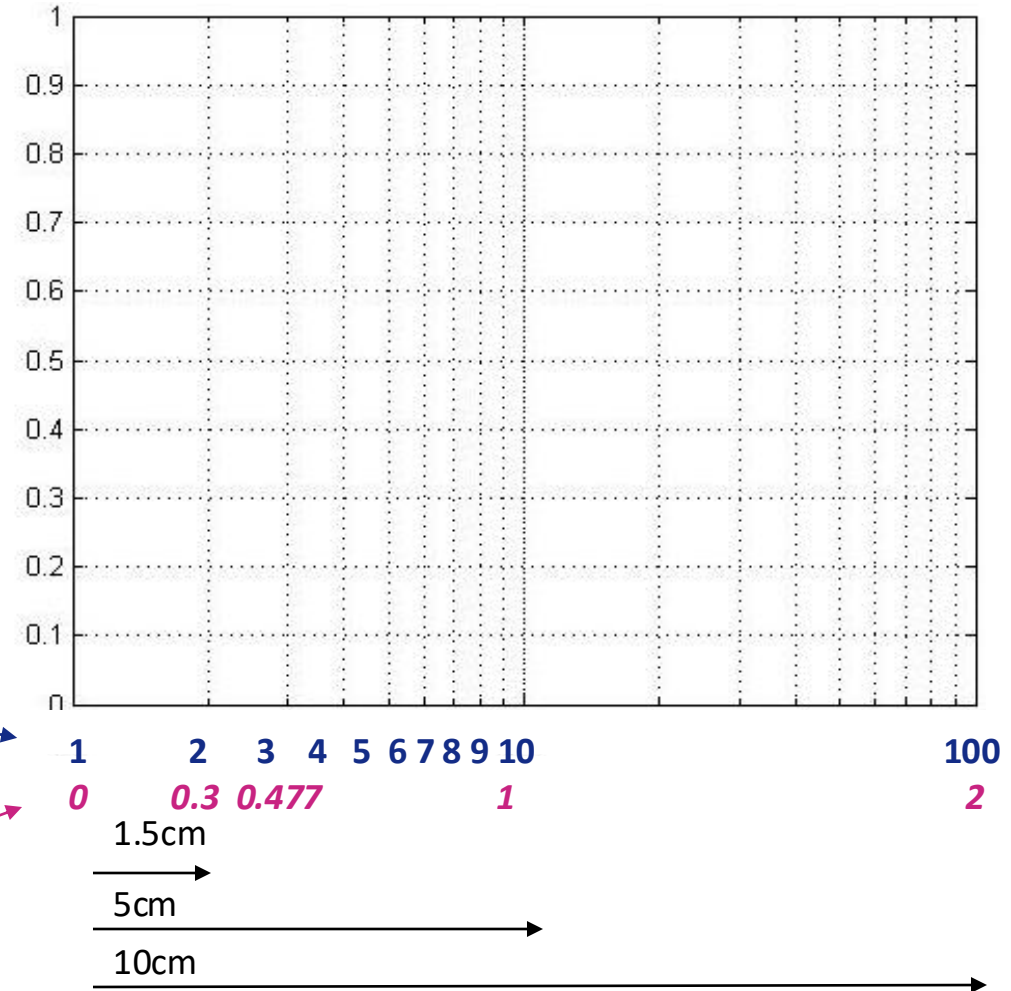
► Principe des diagrammes de Bode

■ Echelle semilogx

- ✓ Ne démarre jamais à $\log(0)$ ($-\infty$)
- ✓ Démarre à une valeur 10^i
- ✓ Fonctionne par décade ($\times 10$)

Log(ω)
(échelle log affichée)

ω
(échelle linéaire placée)



▶ Fonctions du premier ordre

- Quatre fonctions du premier ordre à étudier :

$$g \ H_1(j\omega) = 1 + j \frac{\omega}{\omega_c}$$

$$g \ H_3(j\omega) = j \frac{\omega}{\omega_c}$$

$$g \ H_2(j\omega) = \frac{1}{1 + j \frac{\omega}{\omega_c}}$$

$$g \ H_4(j\omega) = \frac{1}{j \frac{\omega}{\omega_c}}$$

- ω_c est la pulsation de coupure (en rad.s-1)
- $F_c = \omega_c / (2\pi)$ est la fréquence de coupure (en Hz)

6. Diagramme de Bode : 1er ordre

► Fonction $H_1(j\omega) = 1 + j \frac{\omega}{\omega_c}$

- Module de la fonction de transfert :

$$|H_1(j\omega)| = \sqrt{1 + \left(\frac{\omega}{\omega_c}\right)^2}$$

- Module de la fonction de transfert en dB :

$$20 \log_{10} |H_1(j\omega)| = 20 \log_{10} \left(\sqrt{1 + \left(\frac{\omega}{\omega_c}\right)^2} \right) = 10 \log_{10} \left(1 + \left(\frac{\omega}{\omega_c}\right)^2 \right)$$

6. Diagramme de Bode : 1er ordre

► Fonction $H_1(j\omega) = 1 + j \frac{\omega}{\omega_c}$

$$|H_1(j\omega)| = \sqrt{1 + \left(\frac{\omega}{\omega_c}\right)^2} \quad \Rightarrow 20 \log_{10} |H_1(j\omega)| = 10 \log_{10} \left(1 + \left(\frac{\omega}{\omega_c}\right)^2\right)$$

■ Comportement asymptotique

✓ Quand $\omega \rightarrow 0$: $|H_1(j\omega)| \xrightarrow{\omega \rightarrow 0} 1$ et $20 \log_{10} |H_1(j\omega)| \xrightarrow{\omega \rightarrow 0} 0$ dB

✓ Quand $\omega \rightarrow \infty$: $|H_1(j\omega)| \xrightarrow{\omega \rightarrow \infty} \sqrt{\left(\frac{\omega}{\omega_c}\right)^2} = \frac{\omega}{\omega_c}$

❖ en dB : $20 \log_{10} |H_1(j\omega)| \xrightarrow{\omega \rightarrow \infty} 20 \log_{10} \left(\frac{\omega}{\omega_c}\right) = 20 \log_{10}(\omega) - 20 \log_{10}(\omega_c)$

6. Diagramme de Bode : 1er ordre

► Fonction $H_1(j\omega) = 1 + j \frac{\omega}{\omega_c}$

■ Tracé asymptotique :

✓ Quand $\omega \rightarrow 0$: $20\log_{10}|H_1(j\omega)| = 0 \text{ dB} \rightarrow \text{asymptote sur l'axe des abscisses}$

✓ Quand $\omega \rightarrow \infty$: $20\log_{10}|H_1(j\omega)| = 20\text{Log}_{10}(\omega) - 20\text{Log}_{10}(\omega_c)$

⇒ **Equation d'une droite en fonction de X = Log₁₀(ω)**

❖ **Quand $\omega = \omega_c$:** $20\log_{10}|H_1(j\omega_c)| = 20\text{Log}_{10}(\omega_c) - 20\text{Log}_{10}(\omega_c) = 0 \text{ dB}$

❖ **Quand $\omega = 10\omega_c$:** $20\log_{10}|H_1(j10\omega_c)| = 20\text{Log}_{10}(10\omega_c) - 20\text{Log}_{10}(\omega_c)$

$= 20(\text{Log}_{10}(10) + \text{Log}_{10}(\omega_c)) - 20\text{Log}_{10}(\omega_c) = 20\text{Log}_{10}(10) = 20 \text{ dB} \rightarrow \text{pente à } +20 \text{ dB/décade}$

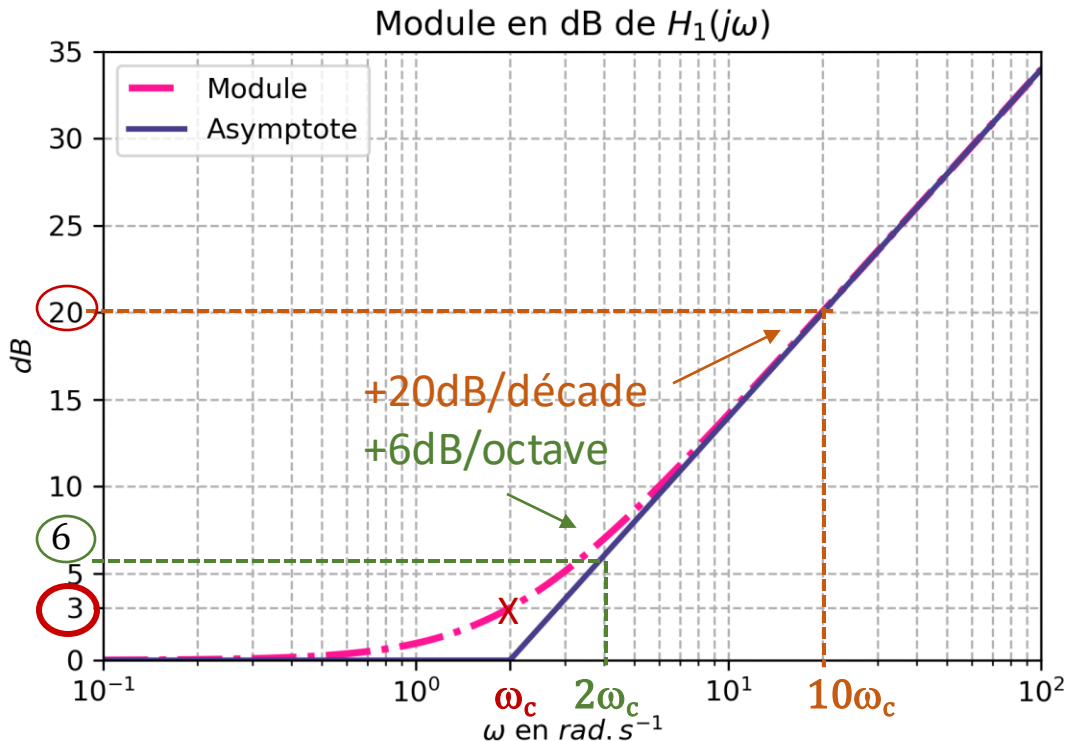
❖ **Quand $\omega = 2\omega_c$:** $20\log_{10}|H_1(j2\omega_c)| = 20\text{Log}_{10}(2\omega_c) - 20\text{Log}_{10}(\omega_c) = 20\text{Log}_{10}(2) = 6 \text{ dB}$

→ **pente à +6 dB/octave**

6. Diagramme de Bode : 1er ordre

- ▶ Fonction $H_1(j\omega) = 1 + j \frac{\omega}{\omega_c}$
- Module de la fonction de transfert :
- ✓ Vraie valeur pour $\omega = \omega_c$
(pulsation de coupure) :

$$\begin{aligned} 20 \log_{10} |H_1(j\omega_c)| \\ = 10 \log_{10} \left(1 + \left(\frac{\omega_c}{\omega_c} \right)^2 \right) \\ = 10 \log_{10} (2) = 3 \text{ dB} \end{aligned}$$



6. Diagramme de Bode : 1er ordre

► Fonction $H_1(j\omega) = 1 + j \frac{\omega}{\omega_c}$

- Argument de la fonction de transfert : $\varphi_1 = \text{Arg}\left(1 + j \frac{\omega}{\omega_c}\right) = \tan^{-1}\left(\frac{\omega}{\omega_c}\right)$
- Comportement asymptotique

✓ Quand $\omega \rightarrow 0$: $\varphi_1 \rightarrow \tan^{-1}(0) = 0$

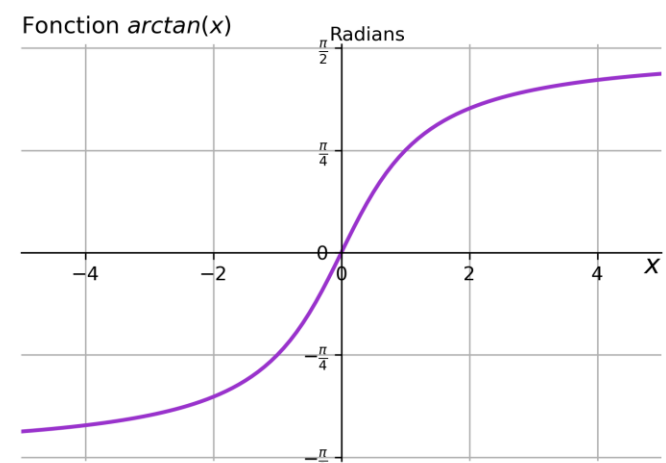
✓ Quand $\omega \rightarrow \infty$: $\varphi_1 \approx \tan^{-1}(\omega) \xrightarrow[\omega \rightarrow \infty]{} \frac{\pi}{2}$

- Calcul de quelques points

✓ **Quand $\omega = \omega_c$:** $\varphi_1 = \tan^{-1}(1) = \frac{\pi}{4}$ radians

✓ **Quand $\omega = 2\omega_c$:** $\varphi_1 = \tan^{-1}(2) = 1.1$ radians

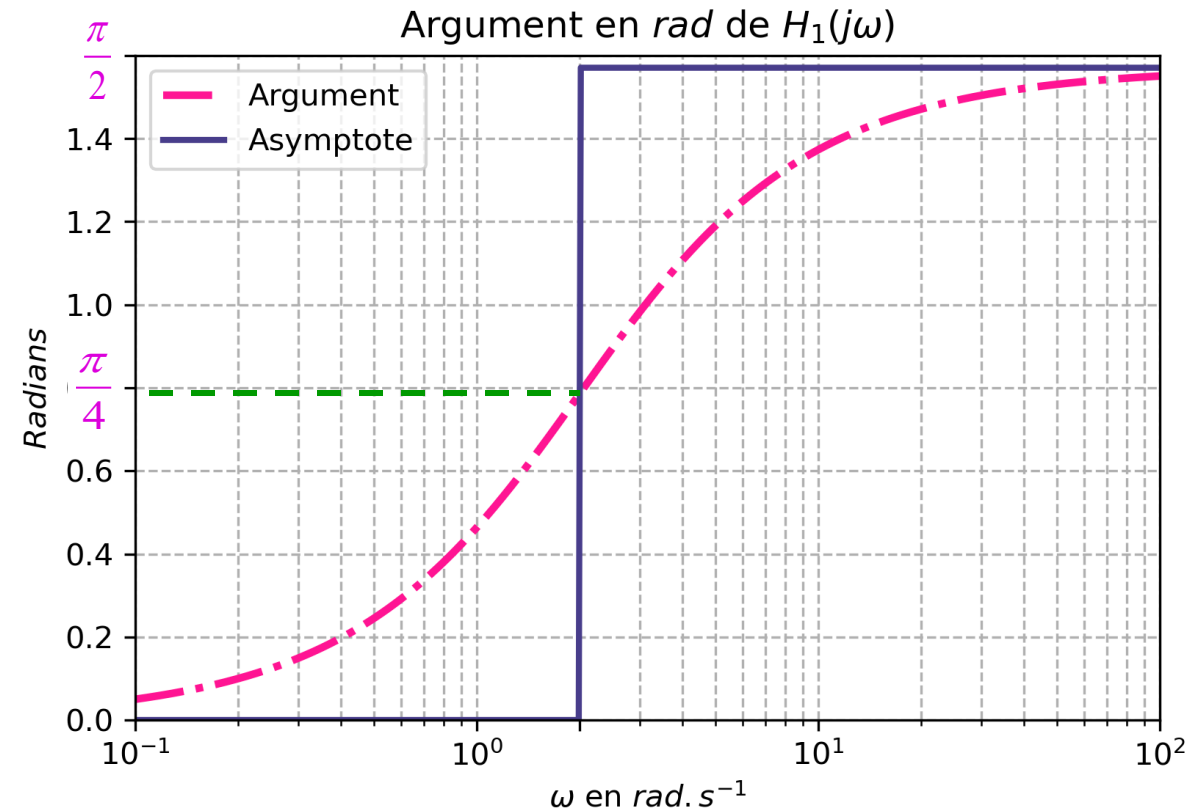
✓ **Quand $\omega = 0.5\omega_c$:** $\varphi_1 = \tan^{-1}(0.5) = 0.46$ radians



6. Diagramme de Bode : 1er ordre

► Fonction $H_1(j\omega) = 1 + j \frac{\omega}{\omega_c}$

- Tracé asymptotique de l'argument :



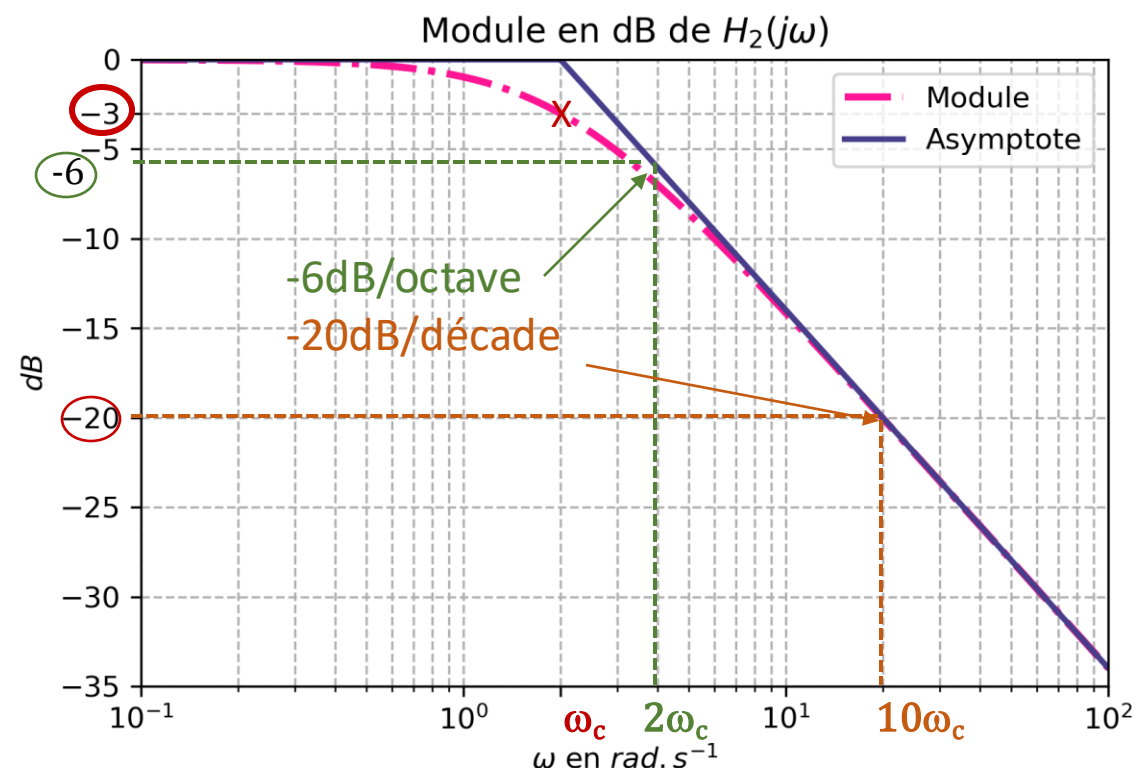
6. Diagramme de Bode : 1er ordre

► Fonction $H_2(j\omega) = \frac{1}{1 + j\frac{\omega}{\omega_c}}$

- Module de la fonction de transfert :

✓ Vraie valeur pour $\omega = \omega_c$
 (pulsation de coupure) :

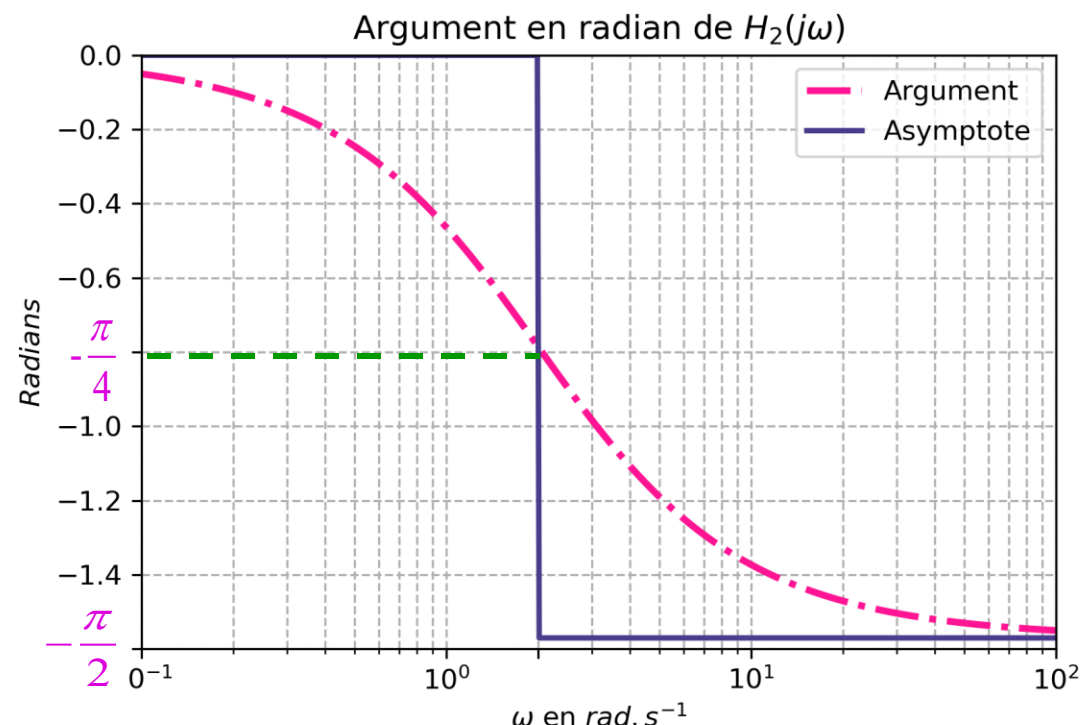
$$\begin{aligned} 20 \log_{10} |H_2(j\omega_c)| \\ = -10 \log_{10} \left(1 + \left(\frac{\omega_c}{\omega_c} \right)^2 \right) \\ = -10 \log_{10} (2) = -3 \text{ dB} \end{aligned}$$



6. Diagramme de Bode : 1er ordre

► Fonction $H_2(j\omega) = \frac{1}{1 + j\frac{\omega}{\omega_c}}$

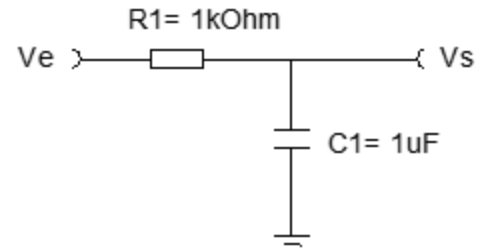
- Tracé asymptotique de l'argument :



6. Diagramme de Bode : 1er ordre

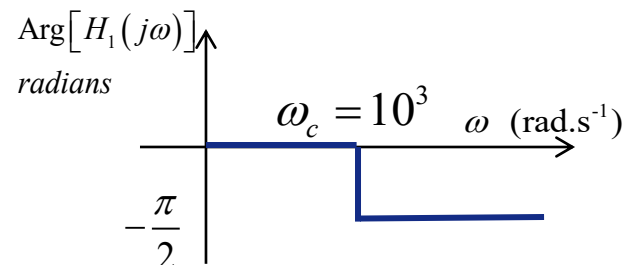
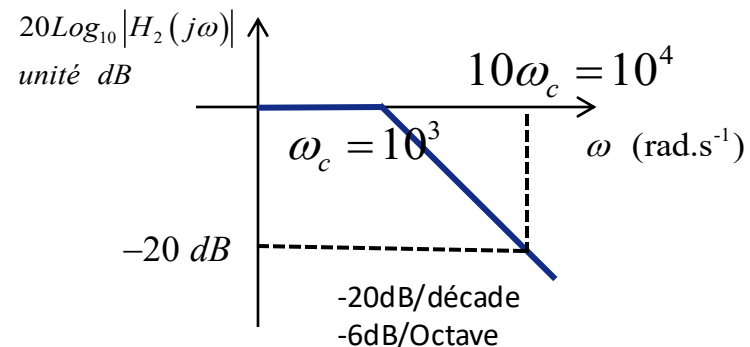
► b) Exemple

$$\frac{V_s}{V_e} = \frac{Z_C}{Z_C + Z_R} V_e \quad \Rightarrow H(j\omega) = \frac{V_s}{V_e} = \frac{\frac{1}{jC\omega}}{R + \frac{1}{jC\omega}} = \frac{1}{1 + jRC\omega}$$



✓ On reconnaît $H(j\omega) = \frac{1}{1 + j\frac{\omega}{\omega_c}}$

avec : $\omega_c = \frac{1}{RC} = \frac{1}{10^3 * 10^{-6}} = 10^3 \text{ rad.s}^{-1}$

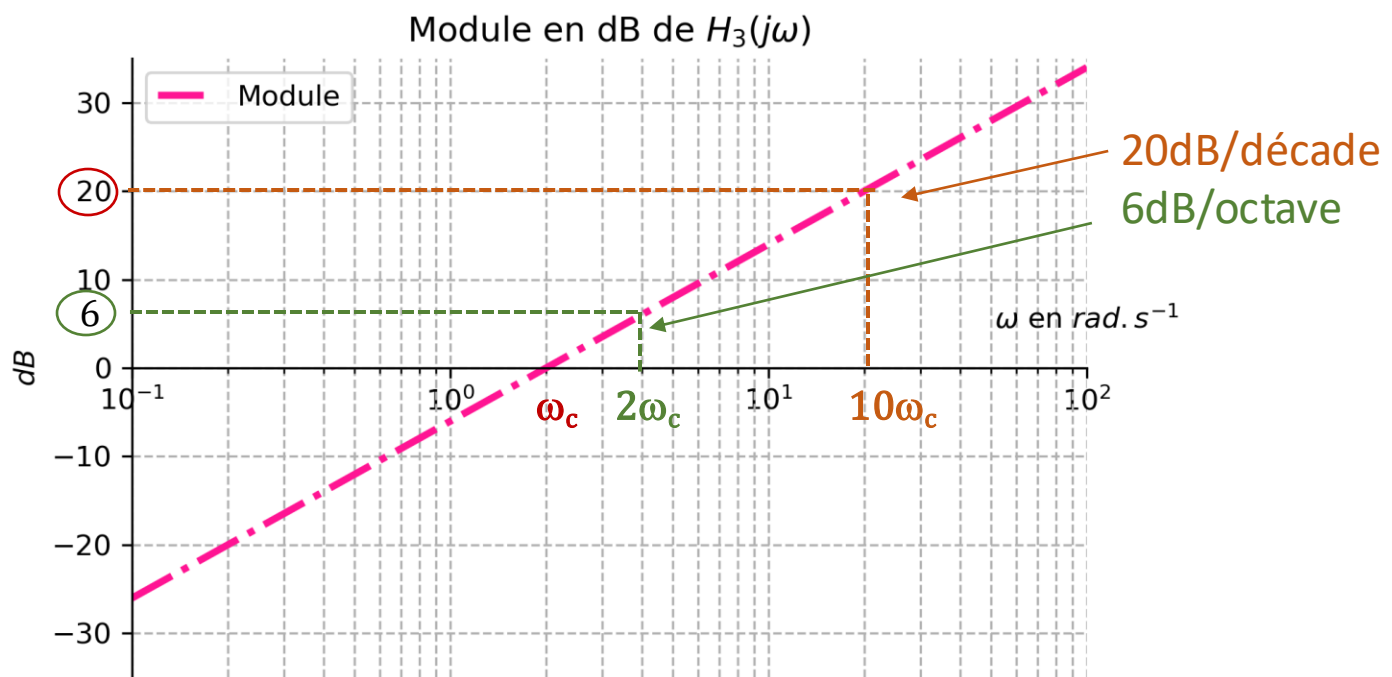


- ## ► Fonction

$$H_3(j\omega) = j \frac{\omega}{\omega_c}$$

- Module de la fonction de transfert en dB :

$$|H_3(j\omega)| = \frac{\omega}{\omega_c}$$

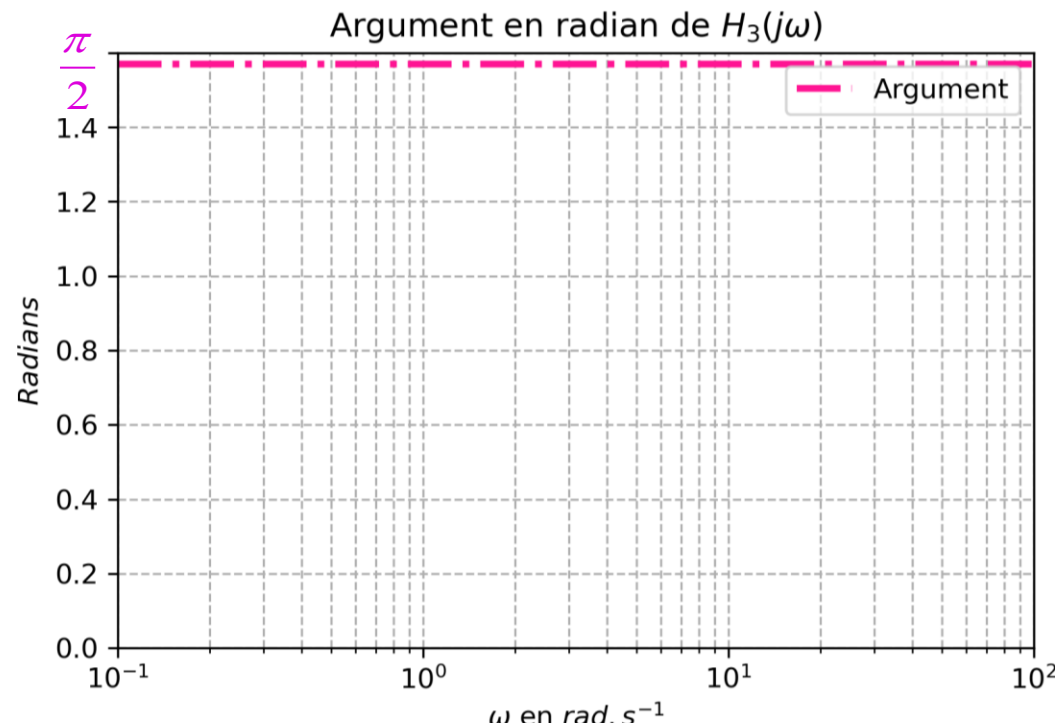


6. Diagramme de Bode : 1er ordre

- ▶ Fonction $H_3(j\omega) = j \frac{\omega}{\omega_c}$

- Argument de la fonction de transfert :

$$\varphi_3 = \text{Arg}\left(j \frac{\omega}{\omega_c}\right) = +\frac{\pi}{2}$$

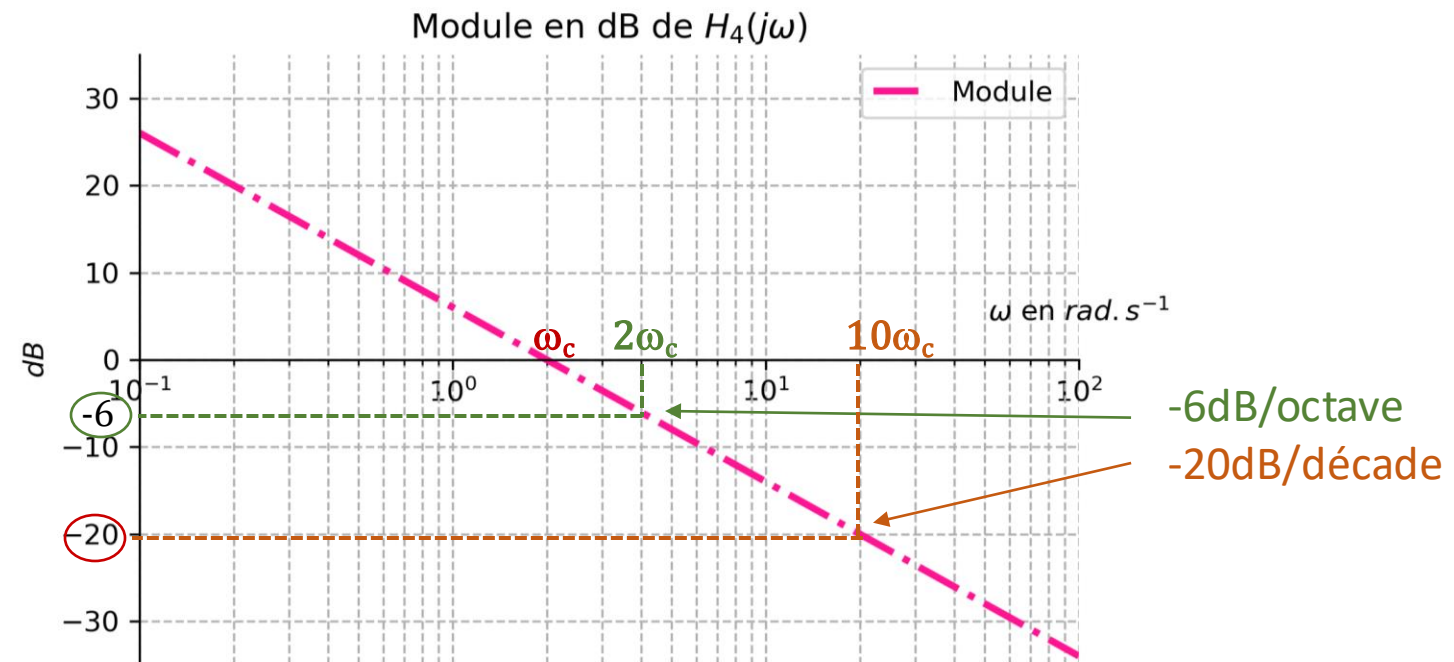


6. Diagramme de Bode : 1er ordre

► Fonction

$$H_4(j\omega) = \frac{1}{j\frac{\omega}{\omega_c}} = -j\frac{\omega_c}{\omega}$$

■ Module de la fonction de transfert en dB

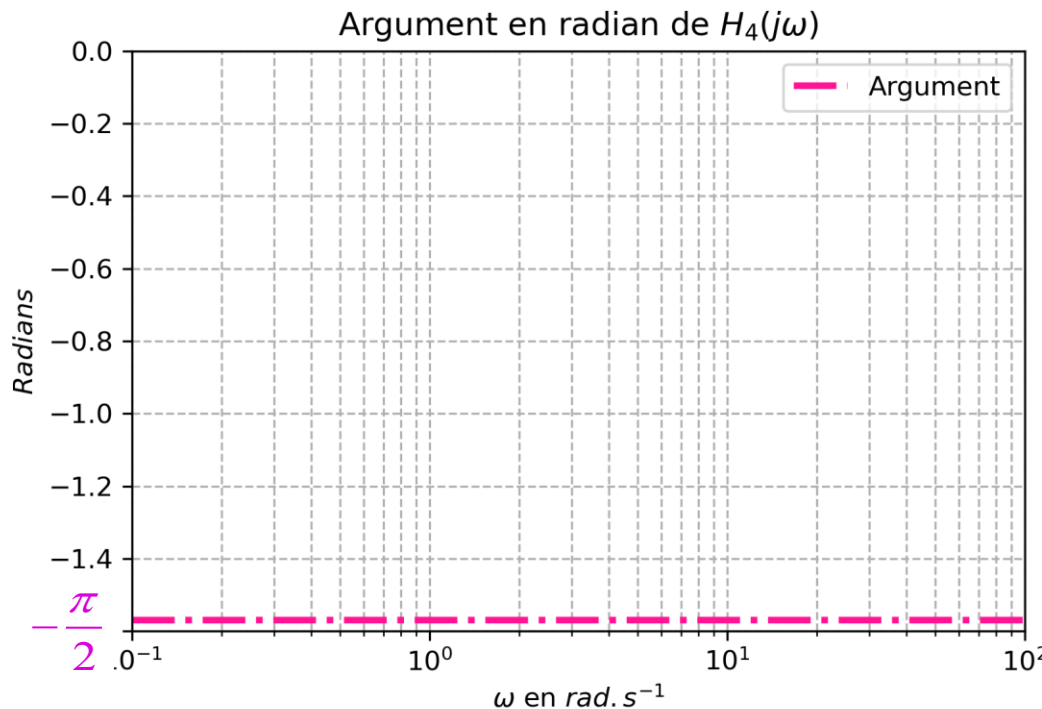


6. Diagramme de Bode : 1er ordre

► d) Fonction $H_4(j\omega) = \frac{1}{j\frac{\omega}{\omega_c}} = -j\frac{\omega_c}{\omega}$

- Argument de la fonction de transfert :

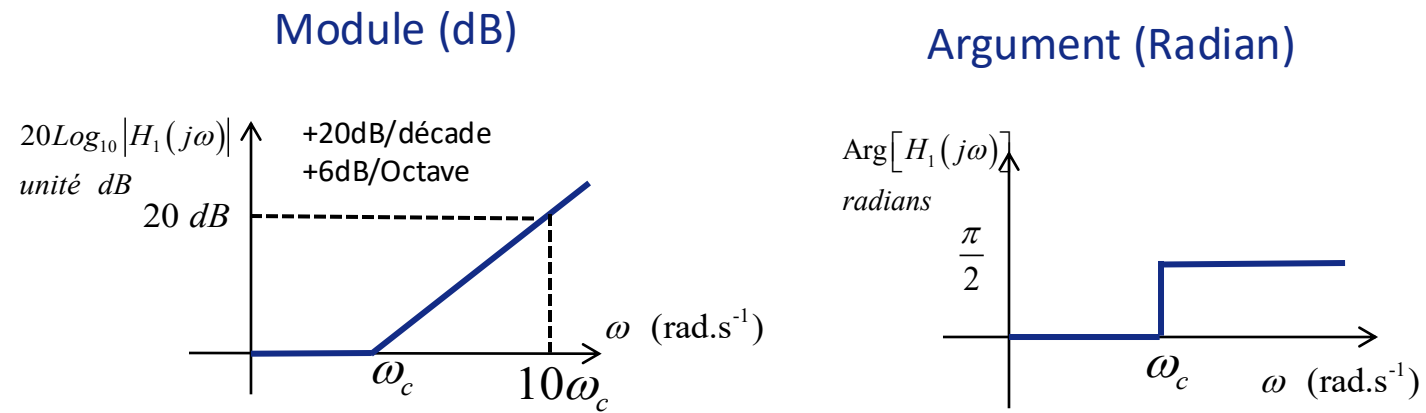
$$\varphi_4 = \text{Arg}\left(-j\frac{\omega_c}{\omega}\right) = -\frac{\pi}{2}$$



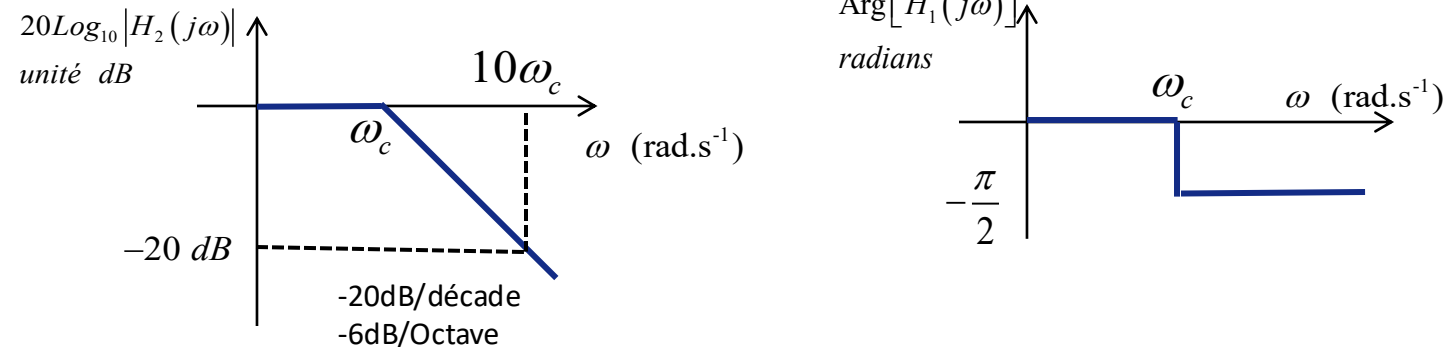
6. Diagramme de Bode : 1er ordre

▶ Synthèse des diagrammes asymptotiques

$$H_1(j\omega) = 1 + j \frac{\omega}{\omega_c}$$



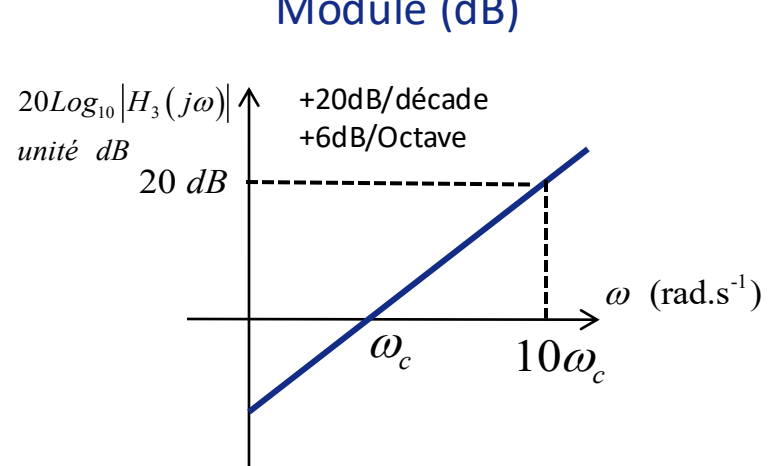
$$H_2(j\omega) = \frac{1}{1 + j \frac{\omega}{\omega_c}}$$



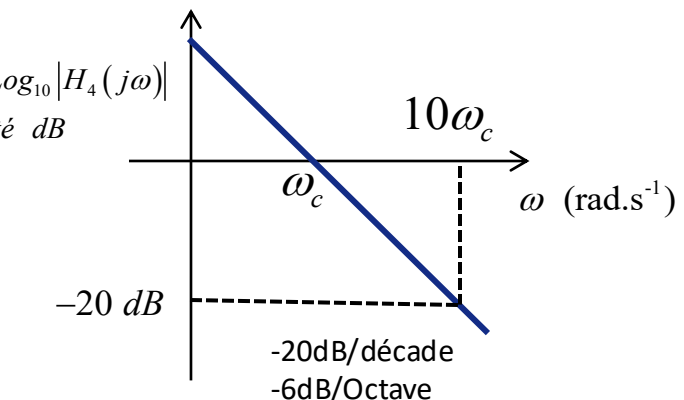
6. Diagramme de Bode : 1er ordre

▶ Synthèse des diagrammes asymptotiques

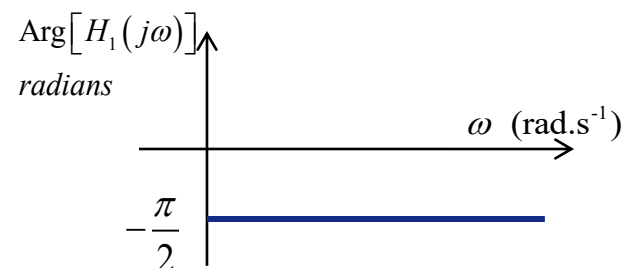
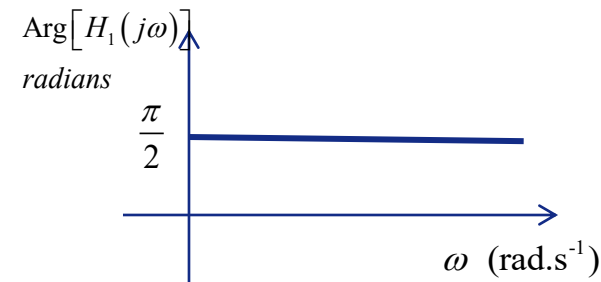
$$H_3(j\omega) = \frac{j\omega}{\omega_c}$$



$$H_4(j\omega) = \frac{1}{j\frac{\omega}{\omega_c}}$$



Argument (Radian)



7. Fonctions de filtrage

► Réalisation de fonctions de filtrage

- A partir de combinaisons de fonctions du premier ordre
 - ✓ Fonction d'un filtre :
 - ❖ Laisse passer certaines fréquences
 - ❖ Atténue d'autres fréquences
 - ✓ Quatre gabarits
 - ❖ Passe-bas : ne laisse passer que les fréquences basses
 - ❖ Passe-haut : ne laisse passer que les fréquences hautes
 - ❖ Passe-bande : ne laisse passer qu'une certaine bande de fréquence
 - ❖ Réjecteur : atténue une certaine bande de fréquence
 - ✓ **Notions importantes :**
 - ❖ Fréquence coupure du filtre
 - ❖ Bande passante
 - ❖ Ordre

7. Fonctions de filtrage

► Réalisation de fonctions de filtrage

■ Pulsation (ou fréquence) de coupure à -3dB

- ✓ Pulsation (ou fréquence) pour laquelle le module de $H(j\omega)$ est égal à la valeur maximale de $H(j\omega)$ divisée par $\sqrt{2}$

$$|H(j\omega_c)| = \frac{\max |H(j\omega)|}{\sqrt{2}}$$

- ✓ En dB, cela revient à trouver $|H(j\omega_C)|$ tel que : $20\log_{10}|H(j\omega_c)| = \max(20\log_{10}|H(j\omega)|) - 3dB$

- ✓ Procédure :
 - ❖ On cherche la pulsation ω_{max} telle que $|H(j\omega)|$ soit maximum
 - ❖ On cherche la valeur ω_c telle que : $|H(j\omega_C)| = |H(j\omega_{max})|/\sqrt{2}$

- ✓ Pulsation de coupure : ω_c en rad.s-1
- ✓ Fréquence de coupure : $F_C = \omega_c/2\pi$ en Hz

7. Fonctions de filtrage

► Réalisation de fonctions de filtrage

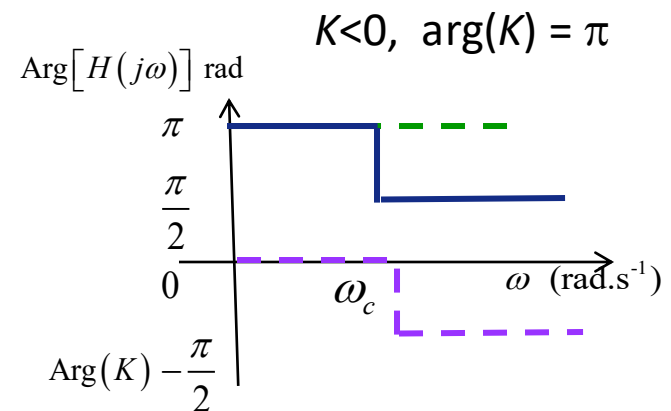
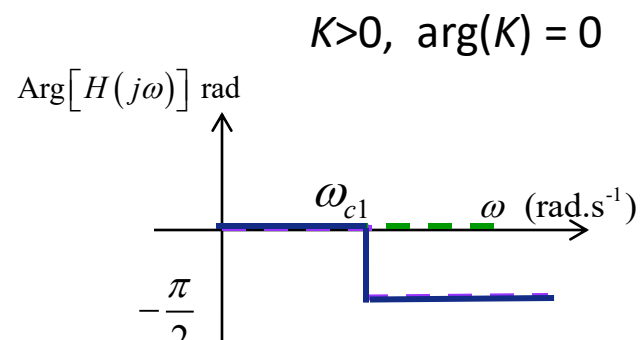
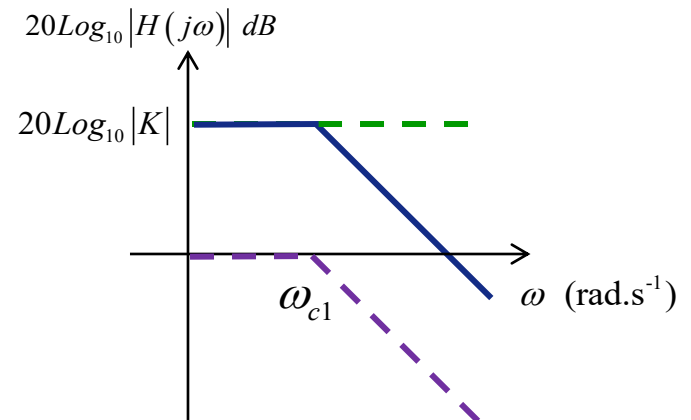
- Bande passante en rad.s⁻¹ ou en Hz
 - ✓ Ensemble des pulsations ω_i (fréquences $F_i = \omega_i / 2\pi$) pour lesquelles le module de $H(j\omega)$ a sa valeur comprise entre sa valeur maximale et cette valeur maximale divisée par $\sqrt{2}$

$$\frac{|H(j\omega_{\max})|}{\sqrt{2}} \leq |H(j\omega_i)| \leq |H(j\omega_{\max})|$$

7. Fonctions de filtrage

► Le passe-bas

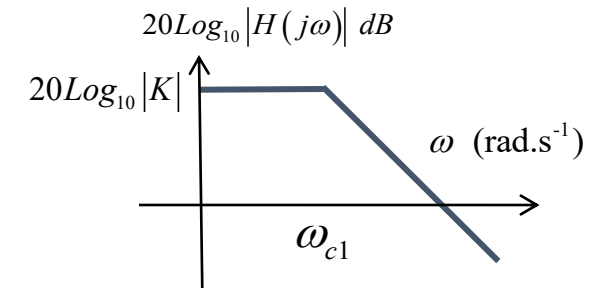
$$H(j\omega) = \frac{K}{1 + j\frac{\omega}{\omega_{c1}}} = K \cdot \frac{1}{1 + j\frac{\omega}{\omega_{c1}}}$$



7. Fonctions de filtrage

► Le passe-bas

$$H(j\omega) = \frac{K}{1 + j\frac{\omega}{\omega_{c1}}} \Rightarrow |H(j\omega)| = |K| \cdot \sqrt{1 + \left(\frac{\omega}{\omega_{c1}}\right)^2}$$



■ Pulsation ou fréquence de coupure à -3dB

✓ Valeur maximale pour $\omega_{\max} = 0 \rightarrow |H(j\omega_{\max})| = |K|$

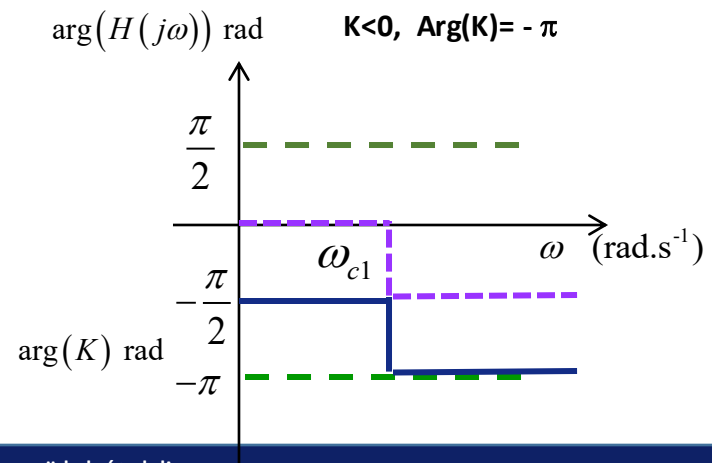
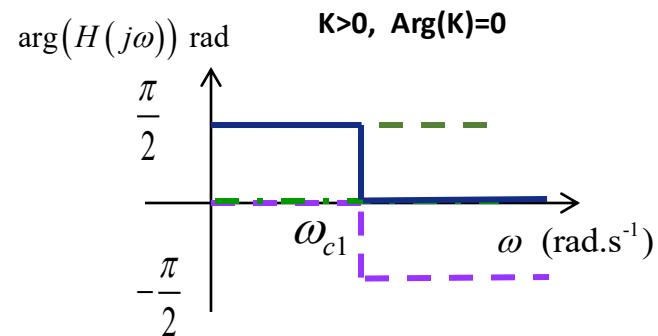
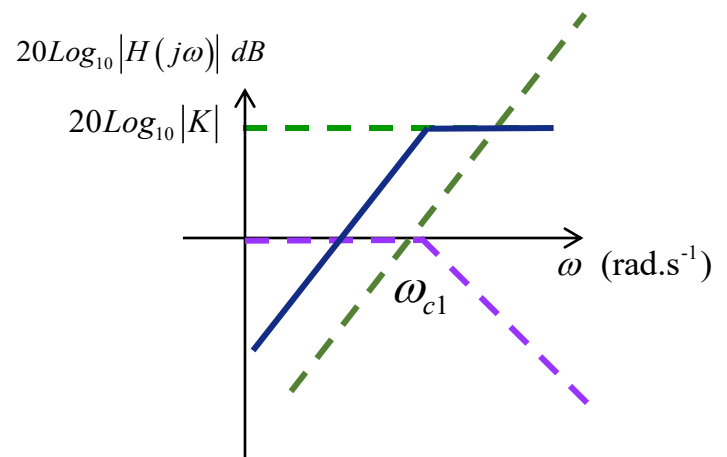
✓ Calcul de la pulsation de coupure ω_c : $|H(j\omega_c)| = \frac{|K|}{\sqrt{2}}$ $\Rightarrow |K| \cdot \sqrt{1 + \left(\frac{\omega_c}{\omega_{c1}}\right)^2} = \frac{|K|}{\sqrt{2}}$ $\Rightarrow \omega_c = \omega_{c1}$

✓ Bande passante : $[0, \omega_{c1}] \text{ rad.s}^{-1}$ ou $[0, F_{c1}] \text{ en Hz}$

7. Fonctions de filtrage

► Le passe-haut

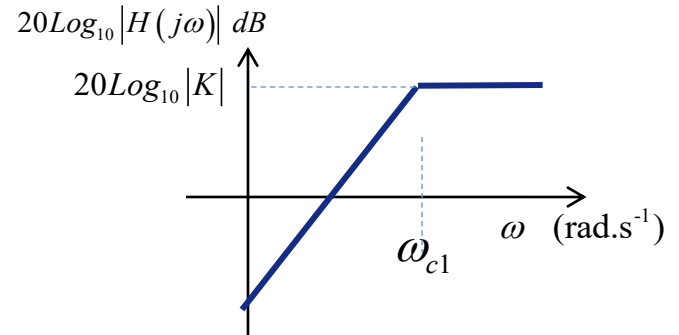
$$H(j\omega) = \frac{K \cdot j \frac{\omega}{\omega_{c1}}}{1 + j \frac{\omega}{\omega_{c1}}} = K \cdot \frac{1}{1 + j \frac{\omega}{\omega_{c1}}} \cdot j \frac{\omega}{\omega_{c1}}$$



7. Fonctions de filtrage

► Le passe-haut

$$H(j\omega) = \frac{K \cdot j \frac{\omega}{\omega_{c1}}}{1 + j \frac{\omega}{\omega_{c1}}} \Rightarrow |H(j\omega)| = |K| \cdot \frac{\frac{\omega}{\omega_{c1}}}{\sqrt{1 + \left(\frac{\omega}{\omega_{c1}}\right)^2}}$$



- Pulsation (ou fréquence) de coupure à -3dB :

✓ Valeur maximale pour ω tendant vers $+\infty$: $|H(j\omega_{\max})|_{\omega \rightarrow +\infty} \approx |K| \cdot \frac{\frac{\omega}{\omega_{c1}}}{\sqrt{\left(\frac{\omega}{\omega_{c1}}\right)^2}} = |K|$

$$\frac{\omega}{\omega_{c1}} = \sqrt{\left(\frac{\omega}{\omega_{c1}}\right)^2} = 1 \Rightarrow \omega = \omega_{c1}$$

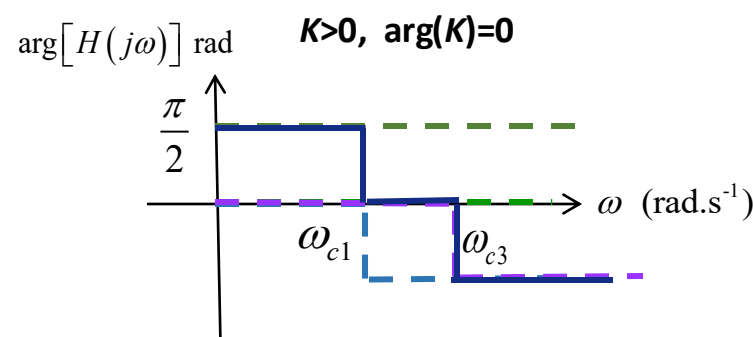
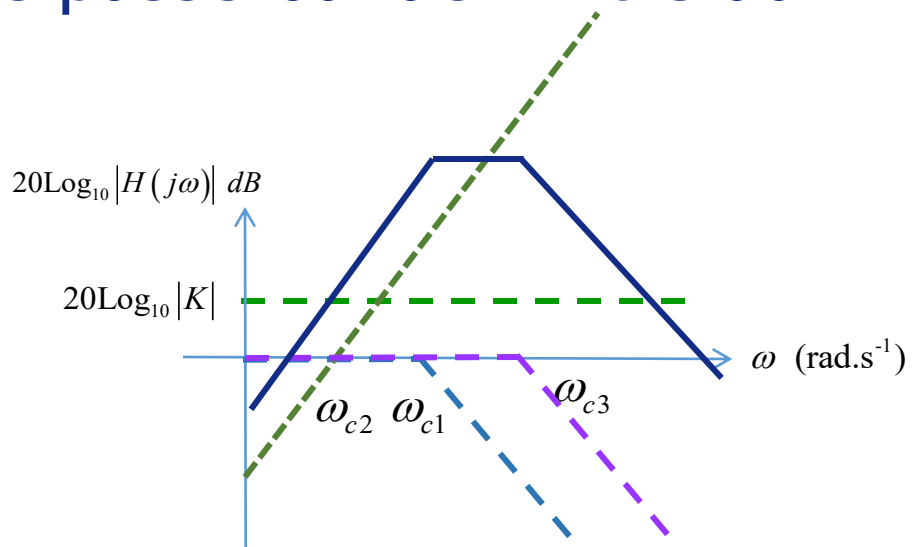
✓ Calcul de la pulsation de coupure ω_{c1} : $|H(j\omega_c)| = \frac{|K|}{\sqrt{2}} \Rightarrow |K| \cdot \frac{\frac{\omega_c}{\omega_{c1}}}{\sqrt{1 + \left(\frac{\omega_c}{\omega_{c1}}\right)^2}} = \frac{|K|}{\sqrt{2}} \Rightarrow \omega_c = \omega_{c1}$

$$\frac{\omega_c}{\omega_{c1}} = \sqrt{\left(\frac{\omega_c}{\omega_{c1}}\right)^2} = 1 \Rightarrow \omega_c = \omega_{c1}$$

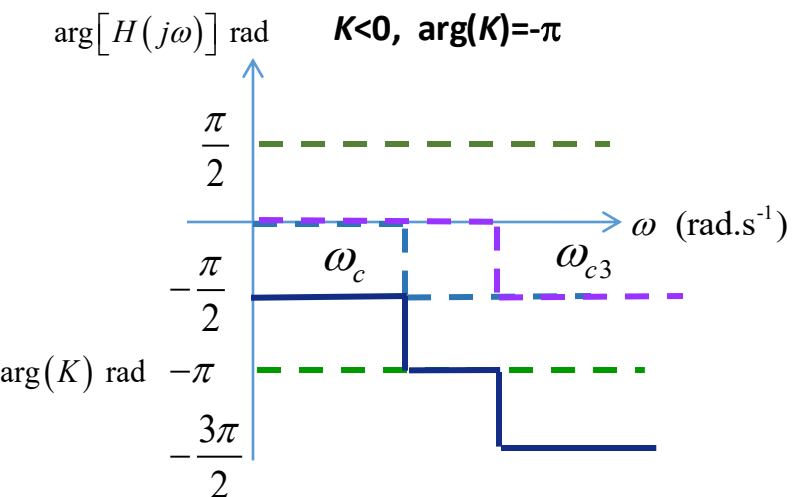
✓ Bande passante : $[\omega_{c1}, +\infty[$ rad.s⁻¹ ou $[F_{c1}, +\infty[$ en Hz

7. Fonctions de filtrage

► Le passe-bande : filtre du 2nd ordre



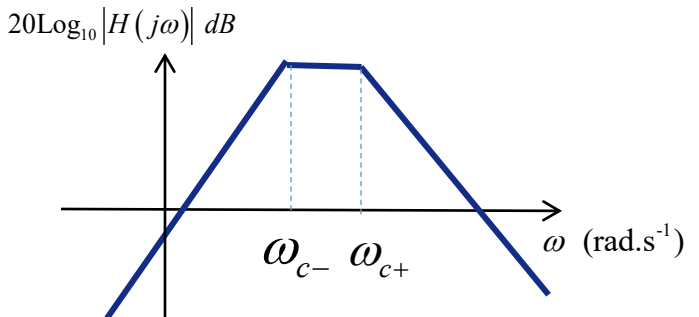
$$H(j\omega) = \frac{K \cdot j \frac{\omega}{\omega_{c2}}}{\left(1 + j \frac{\omega}{\omega_{c1}}\right)\left(1 + j \frac{\omega}{\omega_{c3}}\right)} = K \cdot \frac{1}{1 + j \frac{\omega}{\omega_{c1}}} \cdot \frac{1}{1 + j \frac{\omega}{\omega_{c3}}} \cdot j \frac{\omega}{\omega_{c2}}$$



7. Fonctions de filtrage

► Le passe-bande : filtre du second ordre

$$H(j\omega) = \frac{K \cdot j \frac{\omega}{\omega_{c2}}}{\left(1 + j \frac{\omega}{\omega_{c1}}\right)\left(1 + j \frac{\omega}{\omega_{c3}}\right)} \Rightarrow |H(j\omega)| = |K| \cdot \sqrt{1 + \left(\frac{\omega}{\omega_{c1}}\right)^2} \cdot \sqrt{1 + \left(\frac{\omega}{\omega_{c3}}\right)^2} \cdot \frac{\omega}{\omega_{c2}}$$



■ Deux pulsations (ou fréquences) de coupure

✓ Calcul de ω_{\max} sur équation du second ordre $\frac{d|H(j\omega)|}{d\omega} = 0$
 → valeur qui annule la dérivée du module :

$$\frac{d|H(j\omega)|}{d\omega} = 0$$

✓ Calcul des deux pulsations de coupure : $|H(j\omega_{c-/c+})| = \frac{|H(j\omega_{\max})|}{\sqrt{2}}$

Pour la E2...

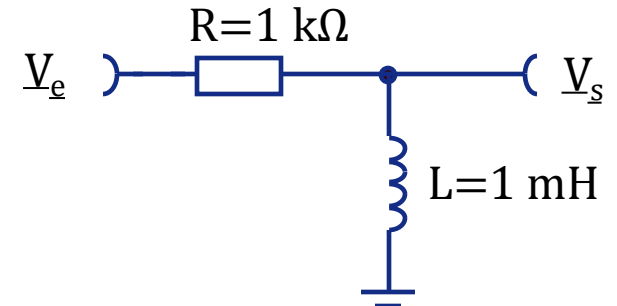
✓ Bande passante : [ω_{c-}, ω_{c+}] rad.s-1 ou [f_{c-}, f_{c+}] Hz

7. Fonctions de filtrage

- Exemple : tracez le diagramme de Bode du circuit suivant :

- Fonction de transfert

$$\underline{V_s} = \frac{Z_L}{Z_L + Z_R} \underline{V_e} \quad \Rightarrow H(j\omega) = \frac{\underline{V_s}}{\underline{V_e}} = \frac{jL\omega}{R + jL\omega}$$



- Il faut le remettre sous une forme de produit de fonctions élémentaires :

$$\Rightarrow H(j\omega) = \frac{jL\omega}{R \left(1 + j\frac{L}{R}\omega\right)} = \frac{j\frac{L}{R}\omega}{\left(1 + j\frac{L}{R}\omega\right)} = j\frac{L}{R}\omega \cdot \frac{1}{1 + j\frac{L}{R}\omega}$$

- On reconnaît les fonctions suivantes : $H(j\omega) = j\frac{\omega}{\omega_c} \cdot \frac{1}{1 + j\frac{\omega}{\omega_c}}$

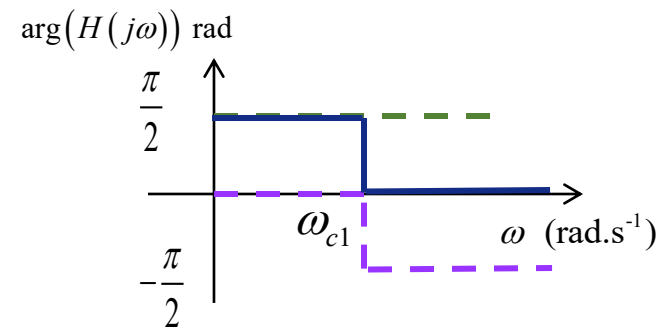
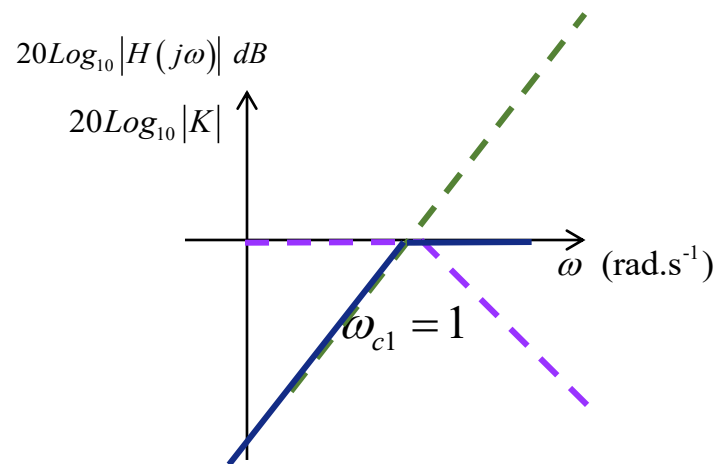
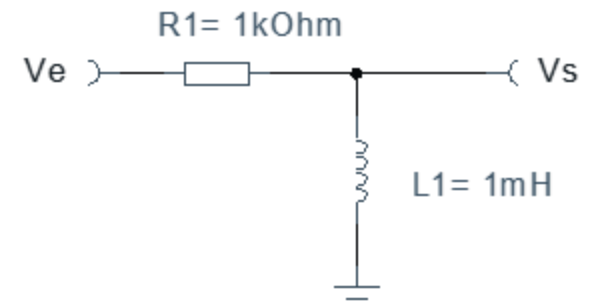
✓ Avec : $\omega_c = \frac{R}{L} = \frac{10^3}{10^{-3}} = 1 \text{ rad.s}^{-1}$

7. Fonctions de filtrage

- e) Exemple avec une fonction de transfert produit de fonction du 1er ordre

- Tracé du diagramme du circuit suivant :

$$H(j\omega) = \frac{1}{1 + j \frac{\omega}{\omega_{c1}}} \cdot j \frac{\omega}{\omega_{c1}}$$



Ce qu'il faut retenir

► Les fonctions élémentaires du premier ordre

- Leur expression

$$H_1(j\omega) = 1 + j \frac{\omega}{\omega_c}$$

$$H_2(j\omega) = \frac{1}{1 + j \frac{\omega}{\omega_c}}$$

$$H_3(j\omega) = j \frac{\omega}{\omega_c}$$

$$H_4(j\omega) = \frac{1}{j \frac{\omega}{\omega_c}}$$

- Leur diagramme de Bode (module et phase)
- Les fonctions de filtrage : passe-haut, passe-bas, passe-bande
 - ✓ Expression des filtres et diagrammes de Bode
 - ✓ Méthode de calcul de la pulsation et de la fréquence de coupure
 - ✓ Définition de la bande passante